

Krešimir Umerički:

Bilješke s predavanja

Fizika elementarnih čestica I

ak. godine 2016/2017.

## Simetrije u kvantnoj mehanici i teoriji polja

Simetrije su transformacije

$$\psi \rightarrow \psi' = U\psi$$

koje nemaju opazivih posljedica.

$\Rightarrow U$  je uglavnom linearan i unitaran (Wignerov teorem)

Skup svih operatora simetrije  $\{U_1, U_2, \dots\}$  tvori grupu.

Kad je simetrija kontinuirana operatore transformacije parametriziramo  $U(\vartheta)$ ,  $\vartheta \in \mathbb{R}$  i često je dovoljno promatrati samo infinitesimalne transformacije:

$$U(\varepsilon) = 1 - i\varepsilon G$$

parameter  $\ll 1$       operator "generator"

Konačne transformacije dobivamo kompozicijom infinitesimalnih

$$U(\vartheta) = \lim_{N \rightarrow \infty} (1 - i \frac{\vartheta}{N} G)^N = e^{-i\vartheta G}$$

$\varepsilon \rightarrow 0$   
 $\vartheta \rightarrow \text{const}$

$$1 = U^\dagger U = (1 + i\varepsilon G^\dagger)(1 - i\varepsilon G) = 1 + i\varepsilon(G^\dagger - G) + O(\varepsilon^2) \Rightarrow G = G^\dagger$$

tj.  $G$  je hermitski, opservabla i očuvan  $[U, H] = 0$ ,  $[U, G] = 0$

Ako transformacije ovise o više parametara imamo više generatora. Npr. rotacije

$$U(\vec{\vartheta}) = e^{-i\vec{\vartheta} \cdot \vec{L}}$$

Sve su posljedice simetrije slijede iz komutacijskih relacija ("algebre") generatora. Npr.

$$[L_i, L_j] = i\varepsilon_{ijk} L_k$$

Simetrije je lakše promatrati kroz Lagranžijan nego kroz jednačine gibanja. (Lagranžijan je Lorentz-invariantni skalar.)

Euler-Lagrangeove jednačine kvantne teorije polja

$$\boxed{\partial_\mu \frac{\partial \mathcal{L}}{\partial(\partial_\mu \phi)} - \frac{\partial \mathcal{L}}{\partial \phi} = 0} \quad \left\{ \begin{array}{l} \text{cl. } \partial_t \frac{\partial \mathcal{L}}{\partial \dot{q}} - \frac{\partial \mathcal{L}}{\partial q} = 0 \end{array} \right.$$

Npr.

$$\mathcal{L}_{\text{Dirac}} = \bar{\psi} (i\not{\partial} - m)\psi$$

(Konjugirani "impuls" od  $\psi$  je  $\pi = \frac{\partial \mathcal{L}}{\partial(\partial_0 \psi)} = i\bar{\psi}\gamma^0 = i\psi^\dagger$  je

$\psi$  i  $\psi^\dagger$  (ili  $\bar{\psi}$ ) smatraju nezavisnim varijablama. E-L jednačina za  $\bar{\psi}$  onda odmah daje

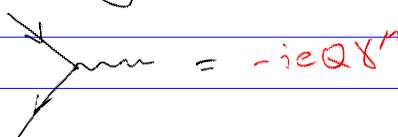
$$\underbrace{\partial_\mu \frac{\partial \mathcal{L}}{\partial(\partial_\mu \bar{\psi})}}_{=0} - \underbrace{\frac{\partial \mathcal{L}}{\partial \bar{\psi}}}_{(i\not{\partial} - m)\psi} = 0 \rightarrow \text{Diracova jednačina gibanja}$$

Lagranžijan omogućuje i izravno određivanje Feynmanovih pravila:

\*) vrh se dobije od članova u  $i\mathcal{L}$  "sklapanjem" polja. Npr.:

$$i\mathcal{L}_{\text{QED}} = i\bar{\psi} (i\not{\partial} - \underbrace{gA}_{\substack{m \\ Qe}} - m)\psi = -ieQ\bar{\psi}\gamma^\mu A_\mu\psi$$

⇓



$$= -ieQ\gamma^\mu$$

\*) propagator je i puta inverz kinetičkog operatora

$$\mathcal{L}_{\text{QED}} \text{ vrh} = \bar{\psi} (i\not{\partial} - m)\psi \rightarrow i \frac{1}{\not{p} - m} \cdot \frac{\not{p} + m}{\not{p} + m} = i \frac{\not{p} + m}{p^2 - m^2}$$

## Izospin

Heisenberg: nuklearne sile ne razlikuju proton i neutron  
(sve razlike potječu od razlikovnog naboja)

Ideja:  $|p\rangle$  i  $|n\rangle$  su dva stanja iste čestice,  
tzv. nukleona  $|N\rangle$  u istom smislu u kojem su  
 $|e^\uparrow\rangle$  i  $|e^\downarrow\rangle$  dva spinska stanja istog elektrona.

Za spin  $-\frac{1}{2}$  sustav znamo da je operator spina  $\vec{S} = \frac{1}{2}\vec{\sigma}$ ,

općenito stanje je  $11n$ -komb. baze

$$|\uparrow\rangle = |S=\frac{1}{2}, S_3=\frac{1}{2}\rangle = \begin{pmatrix} 1 \\ 0 \end{pmatrix} ; |\downarrow\rangle = |S=\frac{1}{2}, S_3=-\frac{1}{2}\rangle = \begin{pmatrix} 0 \\ 1 \end{pmatrix} ,$$

a općenite rotacije u tom 2D prostoru

$$U(\vec{\vartheta}) = e^{-i\vec{\vartheta}\cdot\frac{\vec{\sigma}}{2}} = \cos\frac{\vartheta}{2} - i\vec{\vartheta}\cdot\hat{\sigma}\sin\frac{\vartheta}{2}$$

$$U(\vec{\vartheta}) \in \text{SU}(2)$$

↑  
specijalna unitarna grupa  $2 \times 2$  matrice  
( $\det U = 1$ ) ( $U^\dagger U = 1$ )

Analogno, operator izospina za nukleon je  $\vec{T} = \frac{1}{2}\vec{\sigma}$

gdje je baza

$$|p\rangle = |T=\frac{1}{2}, T_3=\frac{1}{2}\rangle = \begin{pmatrix} 1 \\ 0 \end{pmatrix} ; |n\rangle = |T=\frac{1}{2}, T_3=-\frac{1}{2}\rangle = \begin{pmatrix} 0 \\ 1 \end{pmatrix}$$

Za razliku od spina u prirodi se ne realiziraju superpozicije  
poput  $\frac{1}{\sqrt{2}}(|p\rangle + |n\rangle)$  (cf. superselection rules), ali svejedno

pretpostavljamo simetriju na sve rotacije

$$U(\vec{x}) = e^{-i\vec{x}\cdot\vec{T}} \quad \vec{x} \in \mathbb{R}^3 \text{ - lut u apstraktnom izospinskom prostoru}$$



$|p\rangle = |uud\rangle$  ;  $|n\rangle = |udd\rangle$  ; izospinska simetrija nukleona je zapravo posljedica izospinske simetrije kvarkova

$$|u\rangle = \left| \frac{1}{2}, \frac{1}{2} \right\rangle = \begin{pmatrix} 1 \\ 0 \end{pmatrix} \quad |d\rangle = \left| \frac{1}{2}, -\frac{1}{2} \right\rangle = \begin{pmatrix} 0 \\ 1 \end{pmatrix}$$

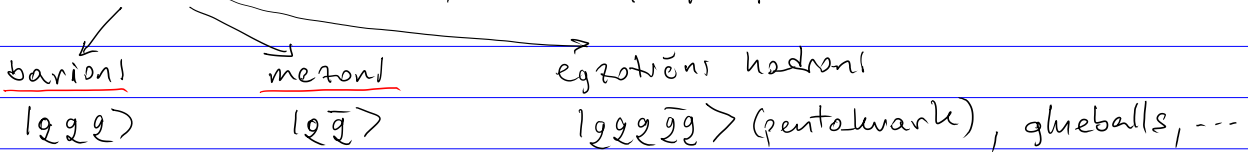
SU(2) „okusa“ (flavour)

okusi kvarka:  $u, d, s, \dots$

Daka sila se teško tretira računom simetrije i identifikacije simetrije nam je od velike pomoći.

Izospinska simetrija povezuje amplitude različitih procesa (vidi uprebe) te omogućuje klasifikaciju hadrona

Hadroni - čestice koje međudjeluju jakim silom



Izospin hadrona se slaže od izospina kvarkova koristeći pravila zbrojanja poznate iz teorije momente impulsa

Stanje dva kvarka (ne postoji kao posebna čestica u prirodi)

$$|q\rangle \otimes |q\rangle = \left| T = \frac{1}{2} \right\rangle \otimes \left| T = \frac{1}{2} \right\rangle = \left| T = 1 \right\rangle \oplus \left| T = 0 \right\rangle$$

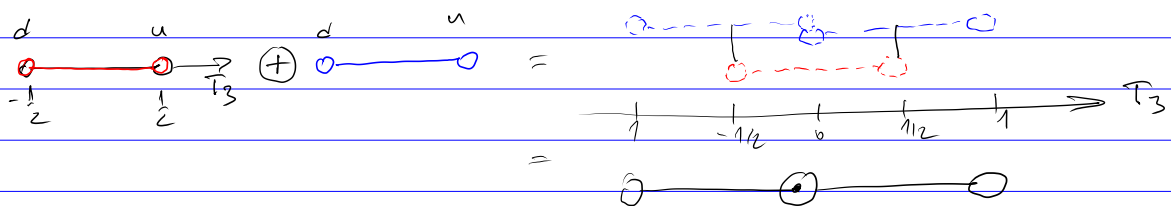
$$2 \otimes 2 = 3 \oplus 1$$

(doublet)      (doublet)      (triplet)      (singlet)

$$\begin{pmatrix} u \\ d \end{pmatrix} \otimes \begin{pmatrix} u \\ d \end{pmatrix} = \frac{1}{\sqrt{2}} \begin{pmatrix} uu \\ (ud+du) \\ dd \end{pmatrix} \oplus \frac{1}{\sqrt{2}} \begin{pmatrix} (ud-du) \end{pmatrix}$$

(simetrično na 1↔2)      (antisim.)

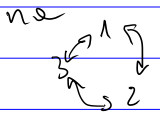
Zahvaljujući obratnom zbrojanju  $T_3$  postoji i grafička metoda (koje će biti zanimljivije kasnije kod SU(3) okusne simetrije.



Barioni:  $qqq$

$$2 \otimes 2 \otimes 2 = 2 \otimes (3 \oplus 1) = 4 \oplus 2 \oplus 2$$

potpuno simetrično  
ne



	$T_3$	ime
$ uuu\rangle$	$\frac{3}{2}$	$\Delta^{++}$
$(...)$	$\frac{1}{2}$	$\Delta^+$
$(...)$	$-\frac{1}{2}$	$\Delta^0$
$ ddd\rangle$	$-\frac{3}{2}$	$\Delta^-$

$T = \frac{3}{2}$  (circled)

- nije simetrično  
- tu su p i n

Ekperiment:  $\Delta$  čestice imaju spin  $J = \frac{3}{2}$ .

Očekuje se da su kvarkovi u osnovnom orbitalnom stanju ( $L=0$ ).

$$J = L + S \Rightarrow S = \frac{3}{2} \text{ tj. spinovi su } |\uparrow\uparrow\uparrow\rangle$$

$$\psi_{\Delta^{++}} = \eta_{\text{prostor}}(\vec{r}_1, \vec{r}_2, \vec{r}_3) \cdot \chi_{\text{spin}}(\uparrow_1, \uparrow_2, \uparrow_3)$$

osnovno stanje  
( $\Delta$  su najlakši barionski kvarteti)  
→ simetrično na zamjene čestice

$|\uparrow\uparrow\uparrow\rangle$   
(isto simetrično)

No  $\Delta^{++} = |uuu\rangle \rightarrow$  tri identične čestice pa stanje mora biti antisimetrično na zamjenu bilo koje dvije!

Rješenje problema: uvođenje novog kvantnog broja za kvarkove: BOJA

Svaki quark ima u tri moguća bojna stanja  $|r\rangle, |g\rangle, |b\rangle$

$$\psi_{\Delta^{++}} = \eta_{\text{prostor}} \cdot \chi_{\text{spin}} \cdot \sum_{\text{boje}} \psi_{\text{boje}}(c_1, c_2, c_3)$$

antisimetrično i sve je o.k.

Totalnu antisimetriju tražimo od bariona i kad kvarkovi nisu identični:

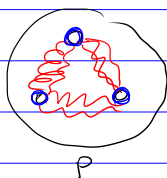
$$\psi_{qqq} = \phi_{\text{okras}} \cdot \eta_{\text{prostor}} \cdot \chi_{\text{spin}} \cdot \sum_{\text{boje}}$$

## SU(3) okusna simetrija

Izospinska simetrija je približno dobra (u skladu s eksperimentom do ne par posto) jer fundamentalna jaka sila (vidjet ćemo u sljedećem poglavlju) zaista ne ovisi o okusu kvarka. Ono što narušuje simetriju su različiti

1) naboji  $Q_u = \frac{2}{3}$   $Q_d = -\frac{1}{3}$ , ali  $\alpha \ll \alpha_{strong}$

2) mase  $m_u \sim 2 \text{ MeV}$   $m_d \sim 5 \text{ MeV}$ , ali energije privlačenja  $m$  je  $\sim 300 \text{ MeV}$



$\rightarrow m_p \sim 1 \text{ GeV}$

Treći najlakši kvark: s ("strani", strange)

$m_s \sim 100 \text{ MeV}$

Izospin se može proširiti na simetriju transformacija 3D prostora rotacijskog  $S$

$$u = \begin{pmatrix} 1 \\ 0 \\ 0 \end{pmatrix} \quad d = \begin{pmatrix} 0 \\ 1 \\ 0 \end{pmatrix} \quad s = \begin{pmatrix} 0 \\ 0 \\ 1 \end{pmatrix}$$

$$|q\rangle = \begin{pmatrix} u \\ d \\ s \end{pmatrix} \rightarrow |q'\rangle = U|q\rangle \quad U = e^{-i\alpha_a T_a} \in SU(3)$$

Posljedice ove simetrije nisu kvantitativno jako dobre. Greške su  $O\left(\frac{m_s}{300 \text{ MeV}}\right) \sim 20-30\%$  ali

1. nekad je i takva greška prihvatljiva
2. važna je za klasifikaciju čestica
3. povijesno važna (otkrivenje kvarkova)

(A potraživanje SU(3) grupe će biti od koristi za SU(3) boju simetriju u sljedećem poglavlju.)

Općenite  $\det=1$  untarne  $N \times N$  matrice ima  $N^2-1$  realnih parametara  $\mathfrak{su}(N)$  grupa ima  $N^2-1$  generatora ( $N \times N$  hermitskih matrica traženih nula)

$$\left( \det e^{-i\lambda_a T_a} = e^{-i\lambda_a \text{Tr} T_a} = 1 \Rightarrow \text{Tr} T_a = 0 \right)$$

$SU(2)$ :  $2^2-1=3$  Paulijevе matrice  $T_3 = \frac{1}{2} \sigma_3$ ; jedne dijagonalne:  $\sqrt{3}$

stanje:  $|T_3\rangle$   
 $\swarrow$  sv. vrijednost operatora  $T_3$  za to stanje

$SU(3)$ :  $3^2-1=8$  Gell-Mannovih matrice

-  $T_a = \frac{1}{2} \lambda_a \quad a=1, \dots, 8$        $\lambda_{1,2,3} = \begin{pmatrix} \lambda_{1,2,3} & 0 \\ 0 & 0 \end{pmatrix}, \dots$   
 $SU(2)$  podgrupa  $\subset SU(3)$  oluska

- dvije dijagonalne:  $\lambda_3 = \begin{pmatrix} 1 & & \\ & -1 & \\ & & 0 \end{pmatrix}$ ;  $\lambda_8 = \frac{1}{\sqrt{3}} \begin{pmatrix} 1 & & \\ & 1 & \\ & & -2 \end{pmatrix}$

stanje:  $|T_3, Y = \frac{1}{\sqrt{3}} \lambda_8\rangle$   
 $\swarrow$   $\nearrow$  hipernaboj

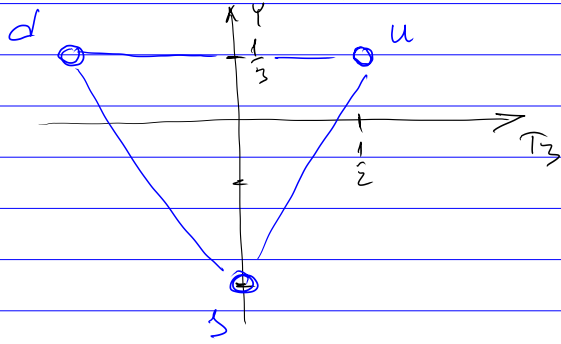
	$T_3$	$Y$	$Q$	$B$	$S=Y-B$
$u$	$1/2$	$1/3$	$2/3$	$1/3$	$0$
$d$	$-1/2$	$1/3$	$-1/3$	$1/3$	$0$
$s$	$0$	$-2/3$	$-1/3$	$1/3$	$-1$

$B$ -barionski broj  
 \*)  $1/3$  za sve kvarkove  
 \*)  $1$  za sve barione  
 \*)  $0$  za sve ostale  
 apsolutno očuvan  
 eksperimentalno

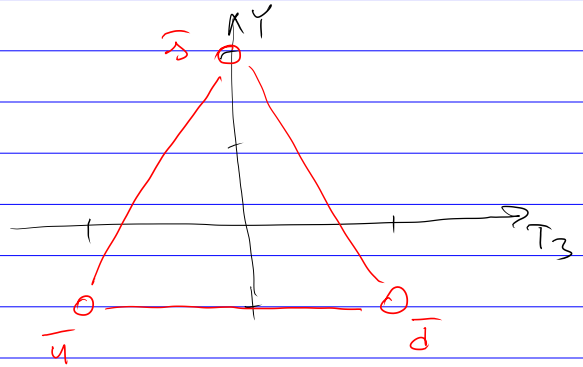
(Približno) očuvanje hipernaboja je bilo otkriveno putem očuvanja stranosti  $S$ : čestice s  $S \neq 0$  su se specijne raspadele i stvarale su se samo u parovima

$$Q = T_3 + \frac{Y}{2} \quad (\text{Gell-Mann i Nishijima})$$

Kvarkovski triplet (3)



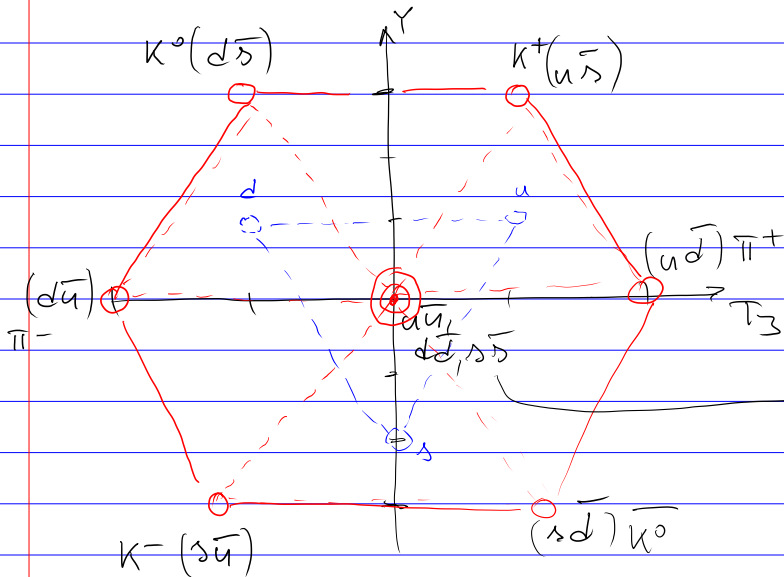
Antikvarkovski antitriplet ( $\bar{3}$ )



"Zbrajanje i množenje" multipleta u SU(3) se izvodi računom metodama:

- operatori stvaranja i spuštanja (Thomson)
  - tenzorske metode
  - Youngovi tabloji
- } radorni kolegiji i skripte

Mezoni:  $1q\bar{q}$   $3 \otimes \bar{3} = 8 \oplus 1$



Jedna lin. komb:

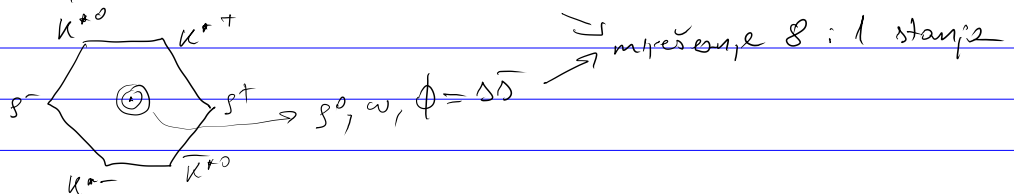
$$\frac{1}{\sqrt{3}} (u\bar{u} + d\bar{d} + s\bar{s}) \equiv \eta'$$

je SU(3) singlet, a  
druge dvije pripadaju  
oktetu:  $\pi^0$  i  $\eta$

$J=0$  ( $L=0, S=0$ )

Paritet mezona je  $-(-1)^L \rightarrow$  pseudoskalarni oktet i singlet  
 $\uparrow$  u četvrtcu i antičetvrtcu opredeljeno imaju suprotan  
 paritet  
 $\left\{ \begin{aligned} P u(\vec{p}, s) &= \gamma_0 u(-\vec{p}, s) = \begin{pmatrix} 1 & \\ & -1 \end{pmatrix} \begin{pmatrix} x \\ \vec{v} \cdot \vec{p} \\ x \end{pmatrix} = u(\vec{p}, s) \\ P v(\vec{p}, s) &= -v(\vec{p}, s) \end{aligned} \right.$

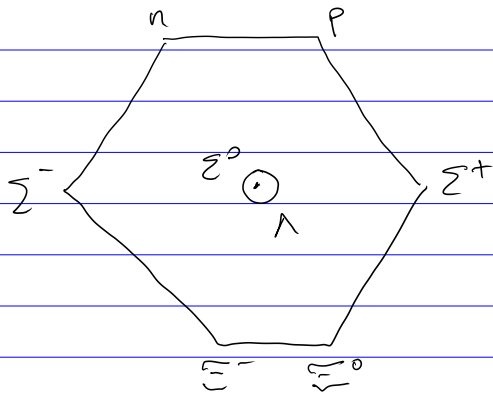
$J=1$ : ( $L=0, S=1$ ),  $P=-1 \rightarrow$  vektorski nonet



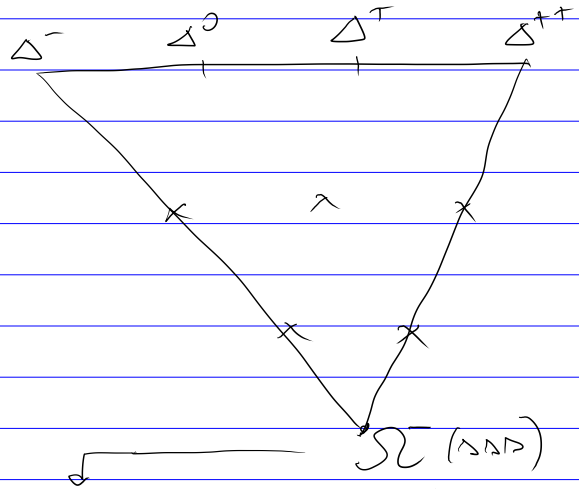
Barion : (qqq)

$$3 \times 3 \times 3 = 10 + 8 + 8 + 1$$

Barionski oktet  $J^P = \frac{1}{2}^+$



Barionski dekvuplet  $J^P = \frac{3}{2}^+$



- Gell-Mannova predstavitev ove šestice je etablrano kvarkovski model
- Isto kao Δ<sup>++</sup> treāi bojn da bi valna funkcija bila antisimetriāna

Baždarno načelo

U QM  $\psi(x)$  i  $e^{-i\alpha} \psi(x)$  opisuju isto stanje.

$$e^{-i\alpha} \in U(1)$$

Transformacije je globalna: ista promjena faze za svaki  $x$ .

Baždarno načelo traži simetriju i na lokalnim transformacijama,

$$\psi(x) \rightarrow e^{-i\alpha(x)} \psi(x)$$

(To je slično idejama teorije relativnosti.)

Formule iz Thompsona  
se dobiju zamjenom

$$\alpha(x) \rightarrow -\frac{q}{\hbar} \chi(x)$$

Da li je Diracova teorija baždarno simetrična?

$$\bar{\psi}(x) \rightarrow \bar{\psi}(x) e^{+i\alpha(x)}$$

$$\mathcal{L} = \bar{\psi}(i\not{\partial} - m)\psi \rightarrow \bar{\psi} e^{+i\alpha(x)} (i\gamma^\mu \partial_\mu - m) e^{-i\alpha(x)} \psi(x)$$

$$= \bar{\psi} e^{+i\alpha(x)} e^{-i\alpha(x)} \left[ i\gamma^\mu \partial_\mu \psi(x) + \gamma^\mu (\partial_\mu \alpha(x)) \psi(x) - m \psi(x) \right]$$

$$= \bar{\psi}(i\not{\partial} - m)\psi + \bar{\psi}(\not{\partial}\alpha(x))\psi \neq \mathcal{L}$$

Diracova teorija za slobodan oštrac nije baždarno simetrična.

No, dodamo li interakciju s em poljem

$$\mathcal{L} = \bar{\psi}(i\not{\partial} - q\not{A} - m)\psi$$

poštujte baždarnu simetriju ako tražimo da se  $A^\mu(x)$  transformira kao

$$A_\mu(x) \rightarrow A_\mu(x) + \frac{1}{q} \partial_\mu \alpha(x)$$

što je upravo baždarna transformacija za koju znamo iz QED da ne mijenja  $\vec{E}$  i  $\vec{B}$ . Provjerimo

$$\mathcal{L}_{\text{QED}} \rightarrow \bar{\psi}(i\not{\partial} - m)\psi + \cancel{\bar{\psi}(\not{\partial}\alpha)\psi} - q\bar{\psi}\not{A}\psi - \cancel{\bar{\psi}\frac{1}{q}(\partial_\mu\alpha)\psi} = \mathcal{L}_{\text{QED}}$$

✓

Dahle, zahtev baždarne simetrije nas tjera da uvedemo „kompromisne“ polje  $A_\mu(x)$  - tzv. baždarno polje, gdje su oblik interakcijskog člana i transformacija  $A_\mu$  potpuno fiksirani zahtevom simetrije.

Kovarijantna derivacija  $D_\mu \psi \equiv (\partial_\mu + ig A_\mu) \psi$  je takva derivacija da se  $(D_\mu \psi)$  transformira isto kao  $\psi$ .

$$D_\mu \psi = (\partial_\mu + ig A_\mu) \psi \rightarrow (\partial_\mu + ig A_\mu + i(\partial_\mu \alpha)) e^{-i\alpha} \psi$$

$$= (-i(\partial_\mu \alpha) + \partial_\mu + ig A_\mu + i(\partial_\mu \alpha)) \psi = D_\mu \psi$$

i imamo kompaktni zapis

$$\mathcal{L} = \bar{\psi} (i \not{D} - m) \psi$$

jednadžba gibanja:  $(i \not{D} - m) \psi = 0$

Zahtjev se dalje proširuje na diplove Lagrangijane koji ne uključuju  $\psi(x)$ :

Tensor em polje  $F_{\mu\nu} = \partial_\mu A_\nu - \partial_\nu A_\mu$  je baždarno invarijantan

$$F_{\mu\nu} \rightarrow \partial_\mu (A_\nu + \frac{1}{g} \partial_\nu \alpha) - \partial_\nu (A_\mu + \frac{1}{g} \partial_\mu \alpha) = F_{\mu\nu} + \frac{1}{g} (\underbrace{\partial_\mu \partial_\nu \alpha - \partial_\nu \partial_\mu \alpha}_{=0}) \checkmark$$

$$\mathcal{L}_{QED} = \bar{\psi} (i \not{D} - m) \psi - \frac{1}{4} F_{\mu\nu} F^{\mu\nu}$$

najjednostavniji baždarno invarijantni skalar izgrađen od  $A_\mu$

Euler-Lagrangeova jednadžba

\* za  $\bar{\psi}$ :  $(i \not{D} - m) \psi = 0$  (Dirac)

\* za  $A_\nu$ :  $\partial_\mu \frac{\partial \mathcal{L}}{\partial (\partial_\mu A_\nu)} - \frac{\partial \mathcal{L}}{\partial A_\nu} = \partial_\mu \frac{\partial}{\partial (\partial_\mu A_\nu)} (-\frac{1}{4}) (\partial_\mu A_\nu - \partial_\nu A_\mu) (\partial^\mu A^\nu - \partial^\nu A^\mu)$

$$i \not{D}_\mu = i \not{\partial}_\mu - g A_\mu$$

$$- (\underbrace{2 \bar{\psi} \gamma^\nu \psi}_{j^\nu}) = 0$$

$j^\nu$  - em struja

$$\Rightarrow \partial_\mu F^{\mu\nu} = j^\nu \quad (\text{Maxwell})$$

Sva kemija i biologija i veći dio fizike sledi iz baždarnog načela!



Slaba i jaka sila također slijede iz baždarnog načela iz neko složenije transformacije.

## Kvantna kromodinamika (QCD)

Kvarkovi imaju i kvantni broj boje: 3D: r, g, b

Baždarna transformacija odgovorne za jaku silu je

$$\psi_j = \begin{pmatrix} \psi_r \\ \psi_g \\ \psi_b \end{pmatrix} \rightarrow e^{-i\alpha_a(x)T_a} \begin{pmatrix} \psi_r \\ \psi_g \\ \psi_b \end{pmatrix}$$

$e^{SU(3)}$

$T_a$ :  $3 \times 3$  matrice, generatori  $SU(3)$ : Nema fizikalne veze s  $SU(3)$  ovisno, ali matematička je ista.

$$T_a = \frac{1}{2} \lambda_a \quad \lambda_a - \text{Gell-Mannove matrice}$$

$$a = 1, 2, \dots, 8$$

$$[T_a, T_b] = i f_{abc} T_c \quad \text{strukturne konstante grupe } SU(3)$$

Da bi kompenzirali 8  $\alpha_a(x)$  transformacije treba nam 8 baždarnih polja:  $G_\mu^a(x)$  - gluoni

$$\mathcal{L}_{QCD} = \sum_{f=u,d,\dots,t} \bar{\psi}_{f,A} \left( i \not{\partial} \delta_{AB} - g_s T_{AB}^a \not{A}^a(x) - m_f \right) \psi_{f,B} - \frac{1}{4} F_{\mu\nu}^a F_{\mu\nu}^a$$

$$A = 1, 2, 3 \text{ ili } r, g, b$$

$$a = 1, 2, \dots, 8$$

Dvije (povećane) komplikacije obratom na QED slučaji:

1. Ostala situacija da  $\partial_\mu$  ne komutira s  $e^{-i\alpha_a(x)T_a}$  (već videno u QED)

imamo:

$$\bar{\psi} (-g_s \not{T}^a \not{A}^a) \psi \rightarrow \bar{\psi} e^{i\alpha_a(x)T_a} (-g_s \not{T}^b \not{A}^b) e^{-i\alpha_c(x)T_c} \psi$$

↑  
ne komutiraju

pa je potrebna kompenzatorna transformacija gluonskog složenja:

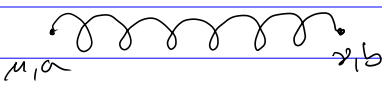
$$G_\mu^a \rightarrow G_\mu^a + \frac{1}{g_s} \partial_\mu \alpha^a + f^{abc} \alpha^b G_\mu^c$$

2. Gluonski tenzor je  $F_{\mu\nu}^a = \partial_\mu G_\nu^a - \partial_\nu G_\mu^a - g_s f^{abc} G_\mu^b G_\nu^c$

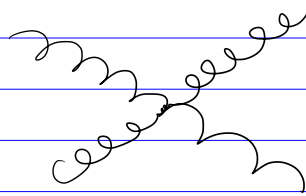
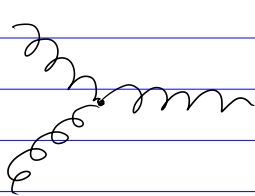
zaključujemo kvadratnom članom

$\mathcal{L} = \dots - \frac{1}{4} F_{\mu\nu}^a F_a^{\mu\nu}$  sadrži,

posred članova  $\propto G^2$ , odgovornih za gluonski propagator:

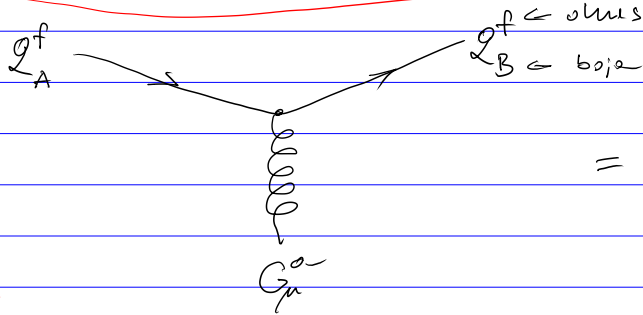

 $= -i \frac{g_{\mu\nu}}{q^2} \delta_{ab}$

i članove samosvetudjelovanja gluona  $\propto G^3, G^4$



(Za Feynmanova pravila vidi literaturu)

Konačno, iz  $i\mathcal{L}_{qcd}$  očitamo kvarkovsko-gluonski vrh


 $= -i g_s T_{BA}^a \gamma^\mu$

Za razliku od fotona koji nemaju naboj, gluoni imaju boju.

$G_\mu^a \Leftrightarrow A\bar{B}$

8 gluona imaju boje  $r\bar{r}, r\bar{g}, r\bar{b}, g\bar{r}, \dots$

svih 8 kombinacija ostim bezbojne:

$3 \times 3 = 8 + 1$  (kao i obojni kvarkovi u mezonima)

$(r\bar{r} + g\bar{g} + b\bar{b})$

# Zatočjenje kvarkova i gluona

- nisu nikad primijećeni izvan hadrona

Hipoteza zatočjenja: U QCD-i su sva izolirana

kvantna stanja bojno neutralna -

( $12_i$ ; Sv: hadroni su bojni singleti)

matematički prečtan iskaž „neutralnosti“

Posljedica hipoteze: mogući hadroni su:

$q\bar{q}$ :  $3 \times \bar{3} = 8 + 1$  (imamo 8 SU(3) članova, ovo je SU(3) boje!)

$$\hookrightarrow \chi_{boja}(q\bar{q}) = \frac{1}{3} (r\bar{r} + g\bar{g} + b\bar{b})$$

~~$qq$~~ :  $3 \times 3 = 6 + 3$  ne može!

$qqq$ :  $3 \times 3 \times 3 = 10 + 8 + 8 + 1$   $\chi_{boja}(qqq) = \frac{1}{6} (rgb - rbg + gbr - grb + bgr - bgr)$

$\hookrightarrow$  antisimetrično na zamjeni čestice

$GG$ :  $8 \times 8 = 24 + 10 + \bar{10} + 8 + 8 + 1$ , a mogući su: eglobična stanja  $ggg, gg\bar{g}, \dots$

Hipoteza još nije strogo dokazana. (\$1M za dokaz „masenog procjepa u Yang-Mills teoriji“)

gluoni bez kvarkova (jednostavnije od QCD)

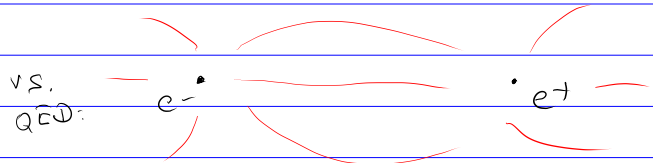
jer slobodni gluon bi mogao imati proizvoljno malu energiju

\* Numeričke simulacije (QCD „na rešetci“ ope su čvorišta točke diskretnog prostora-vremena)

$\hookrightarrow$  sugeriraju da je hipoteza točna

\* Intuitivno „objašnjenje“

$q \cdot \text{gluon} \cdot \bar{q}$   
(samo privlačne gluone sačinjavaju silnice u „cijev“)

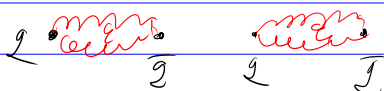


$$V(r) = -\frac{\alpha}{r}$$

$$V(r) \sim \alpha r$$

$\hookrightarrow$  1 GeV/fm ( $\hookrightarrow$  sila od  $10^5$  N)

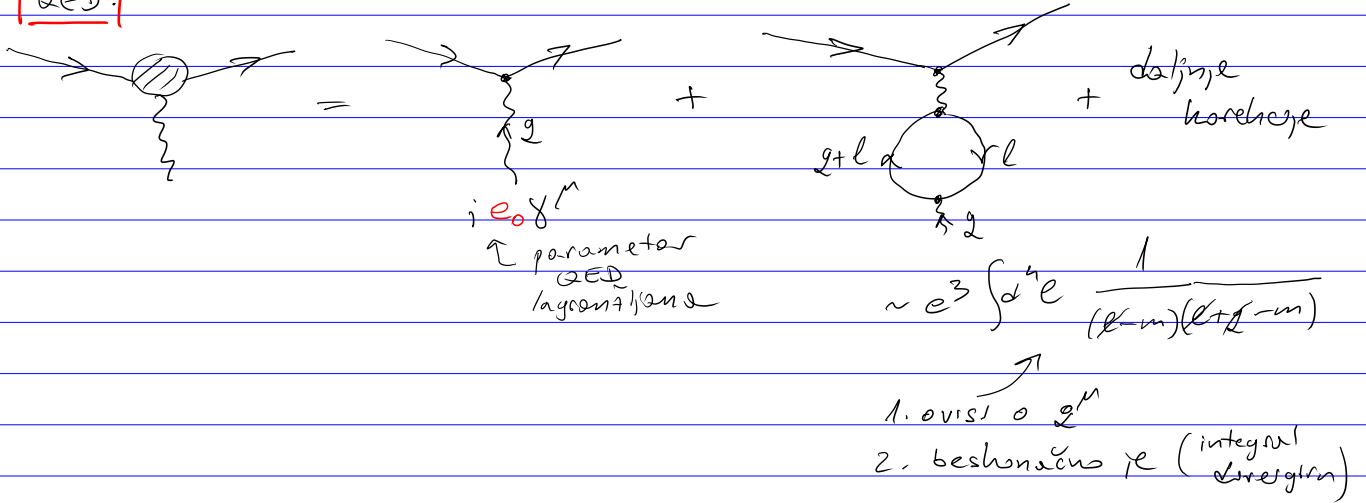
pa pri razdvajanju kvarkova brzo postaje energetska povoljnije stvoriti par  $q\bar{q}$ :



Klizanje konstanti vezanja (QED; QCD) i asimptotska slabost (QCD)

„Jakost“ međudjelovanja fermiona i bojadarnog bozona.

**QED:**



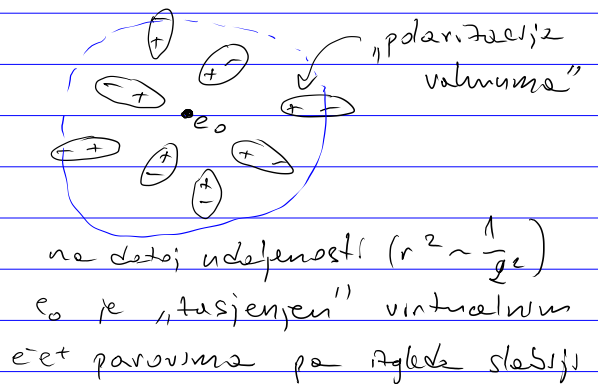
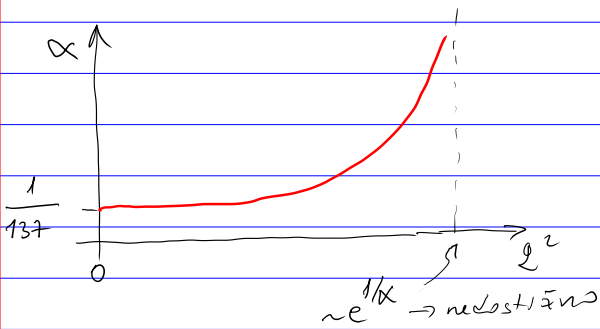
Tretman beskonačnosti vodi na tzv. „renormalizaciju“  
 naboja  $e_0 \rightarrow e$  gdje renormalizirani naboj, još  
 „klizi“  $e(q^2)$  tj. ovisi o impulsu.

Račun u najnižem redu (jedne petlje):

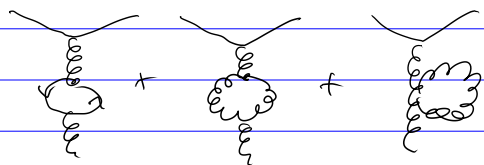
$$\alpha(q^2) = \frac{\alpha(\mu^2)}{1 - \beta_0 \frac{\alpha(\mu^2)}{4\pi} \ln \frac{q^2}{\mu^2}}$$

$\alpha(\mu^2)$  - iznos na referentnom impulsu ( $\mu^2$ ) - iz eksperimenta

QED:  $\beta_0 = \frac{4}{3}$



**QCD**



$$\beta_0 = \frac{2}{3} N_f - \frac{11}{3} N_c < 0$$

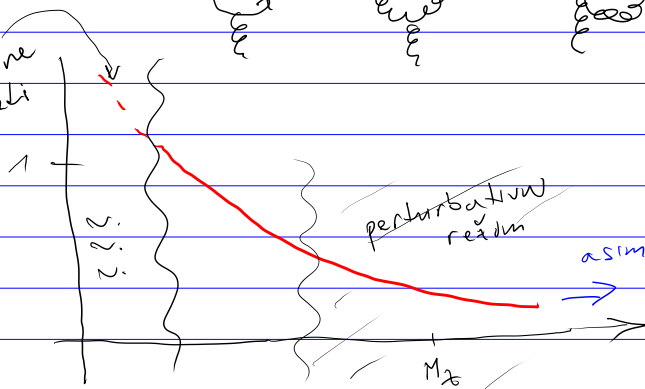
$N_c = 3$  (boji, boje)

broj „aktivnih“ kvarkova  
 $N_f \leq 6$

asimptotska slabost:  $\alpha_s(\infty) = 0$

$\alpha(M_Z) = 0.118$

reperurbativno formula ne vrijedi

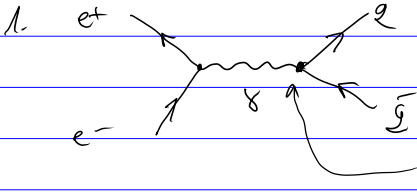


Anihilacija  $e^+e^-$  u hadrone

Znamo od ranije da u ultrarelativističkoj granici ( $\beta \approx 1$ )

$$\Gamma(e^+e^- \rightarrow \mu^+\mu^-) = \frac{4\pi\alpha^2}{3s}$$

Odatle lahko odredimo, udarni presjek za tvorbu parni kvarkova. Potrebne su samo dvije modifikacije:



$$Q_q = \begin{cases} 2/3 & \text{za } q = u, c, t \\ -1/3 & \text{za } q = d, s, b \end{cases}$$

2. Svaki kvark dolazi u 3 boje

$\Downarrow$

$$\Gamma(e^+e^- \rightarrow q\bar{q}) = \frac{4\pi\alpha^2}{3s} Q_q^2 \times 3$$

U eksperimentu je pogodno mjeriti omjer

$$R_\mu = \frac{\Gamma(e^+e^- \rightarrow q\bar{q})}{\Gamma(e^+e^- \rightarrow \mu^+\mu^-)} = 3 \sum_{u,d,s,\dots} Q_q^2$$

tzv. "aktivni" kvarkovi

suma po svim kvarkovima za koje imamo dovoljno energije  $\sqrt{s}$  za stvoriti ih

$R_\mu$  me smislu gledati za  $\sqrt{s} \sim$  nekoliko GeV da imamo šanse biti u perturbativnom režimu. Dakle,  $u, d, s$  su uvijek aktivni.

$m_c \sim 1.2$  GeV, najlakše  $J^P = 1^-$  će stajati:  $3/4 >$  masom  $3.1$  GeV

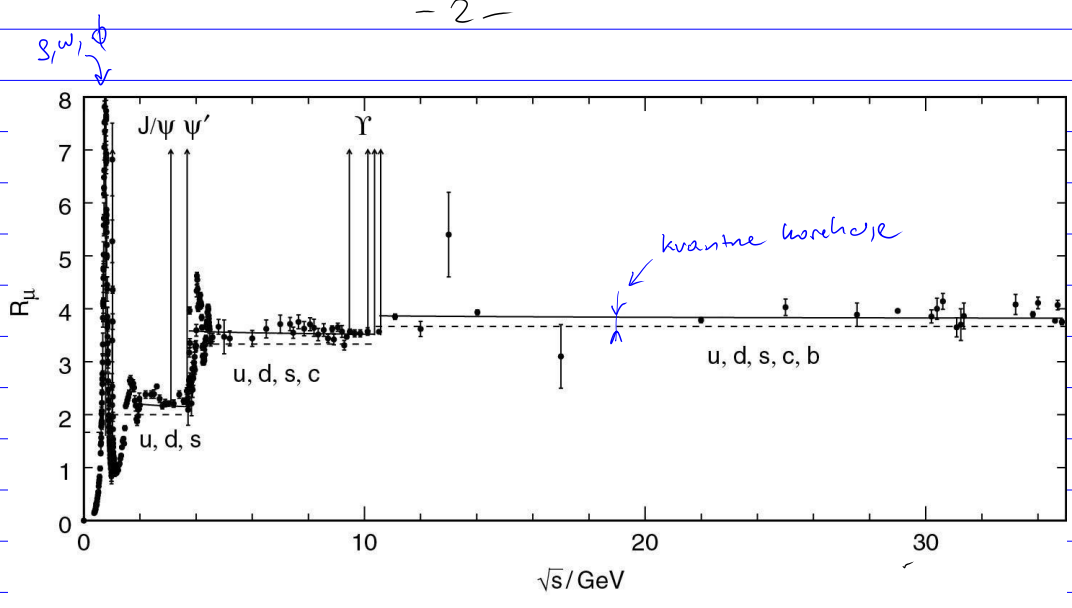
Dakle, za  $\sqrt{s} \lesssim 3$  GeV očekujemo

$$R_\mu = 3(Q_u^2 + Q_d^2 + Q_s^2) = 3\left(\frac{4}{9} + \frac{1}{9} + \frac{1}{9}\right) = 2$$

a za  $\sqrt{s} \gtrsim 3$  GeV

$$R_\mu = 2 + 3 \times Q_c^2 = 2 + 3 \cdot \frac{4}{9} = \frac{10}{3}$$

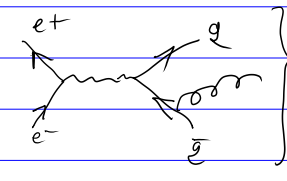
Slijedeći prag je  $\Gamma(b\bar{b}) \sim 9.5$  GeV :  $R_\mu = \frac{11}{3}$



↑  
Izavna potreba da kvarkovi dolaze u 3 boje!

Izvan rezonanci g-g rezonanci detektiramo mlazove hadrona (jets)

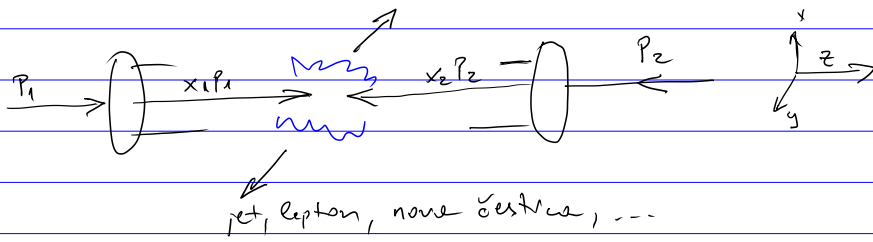
$e^+e^- \rightarrow q\bar{q} \rightarrow 2 \text{ jets}$   
 $e^+e^- \rightarrow g\bar{g} \rightarrow 3 \text{ jets}$   
 potiskano  $\propto \alpha_s$



12 kutne distribucije:  
 - setnosens na gluon ima spin 1  
 - testiramo SU(3) simetriju QCD

$$\frac{\Gamma(e^+e^- \rightarrow 3 \text{ jets})}{\Gamma(e^+e^- \rightarrow 2 \text{ jets})} \rightarrow \text{mjerimo } \alpha_s$$

Hadron - hadron raspršenja



CM sustav za partone koji se sudaraju (s longitudinalnim impulsima  $x_1 p_1$  i  $x_2 p_2$ ) nije isti kao CM sustav hadrona (s impulsima  $p_1, p_2$ ).

Umjesto  $x_1, x_2, Q^2$ , kinematiku hh sudara se opisuje pogodnijim varijablama:

$P_T = \sqrt{P_x^2 + P_y^2}$  - transverzalni impuls čestice/mlaza

$y = \frac{1}{2} \ln \frac{E + P_z}{E - P_z}$  - rapiditet čestice/mlaza (Varijacioni parameter)

Longitudinalni (duž z osi) potisak za brzinu  $\beta$ :

$P_T \rightarrow P_T$   
 $y \rightarrow y + \text{Arctanh} \beta$

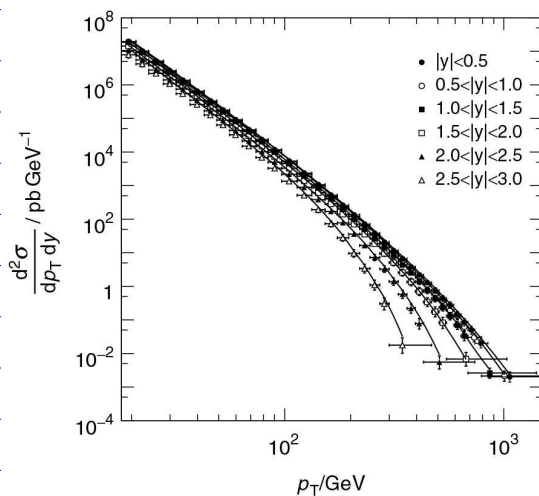
Pa su različite rapiditeta ( $y_1, y_2$ ) i udarni presjeci  $\frac{d\sigma}{dy}$  invarijantni.

Također, ovisnost  $\frac{d\sigma}{dy}$  o  $y$  je slabija i čestice se u

detektoru raspršuju homogeno u  $y$  (a zgušnjavaju se u  $\theta$  oko snopova)

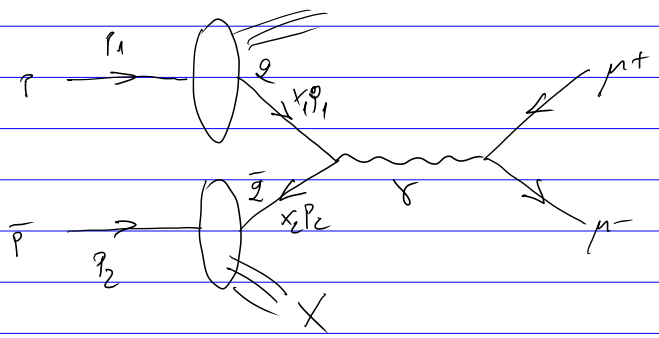
Za hiperrelativističke čestice ( $E \approx |\vec{p}| = \frac{p_T}{\cos \theta}$ )  $y \approx \eta \equiv -\ln \left( \text{tg} \frac{\theta}{2} \right)$

↑  
 "pseudorapiditet"



↑  
 istovno se uperi u detektoru

Raspršenje Drellera i Yana ( $p\bar{p} \rightarrow e\bar{e} + X$ ) bilo što  
 možemo  $p$   $\uparrow$   $\mu^+\mu^-, e^+e^-, \dots$



Obzirujemo  $\sigma(e^+e^- \rightarrow \mu^+\mu^-) = \frac{4\pi\alpha^2}{3s}$  imamo nešto keopje:

1. Dodajemo filter  $Q_f^2$   $\left\{ s = (p_1 + p_2)^2 \xrightarrow{E \gg m_p} 2p_1 p_2 \right\}$

2.  $s \rightarrow \hat{s} = (x_1 p_1 + x_2 p_2)^2 = x_1^2 p_1^2 + x_2^2 p_2^2 + 2x_1 x_2 p_1 p_2 \xrightarrow{E \gg m_p} 2x_1 x_2 p_1 p_2 = x_1 x_2 s$

3. Usrednjenje po bojanju:

$$\frac{1}{N_c} \sum_{c_1, c_2} \frac{1}{N_c} \sum_{\bar{c}_1, \bar{c}_2} \underbrace{\sigma(Q_f \bar{Q}_f \rightarrow \mu^+\mu^-)}_{\delta_{c_1 c_2} \sigma(Q_f \bar{Q}_f \rightarrow \mu^+\mu^-)} = \frac{1}{N_c} \sum_{c_1} \sum_{\bar{c}_2} \underbrace{\delta_{c_1 c_2}}_{=1} \sigma(Q_f \bar{Q}_f \rightarrow \mu^+\mu^-)$$

$= N_c$

4. Množenje s vjerojatnošću da se u (anti)protonu nađe odgovarajući (anti)kvark s impulsom  $x_1$  ( $x_2$ )

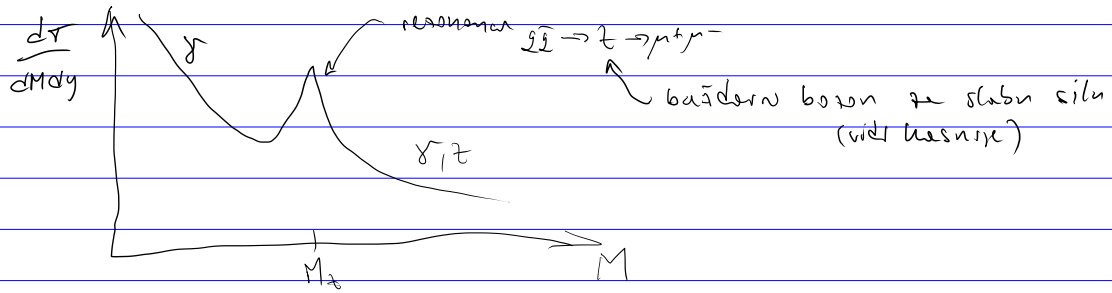
Sve skupa:

$$d^2 \frac{d\sigma}{dx_1 dx_2} = \frac{1}{N_c} \frac{4\pi\alpha^2}{3x_1 x_2 s} \left( \frac{4}{9} \underbrace{u^p(x_1) \bar{u}^{\bar{p}}(x_2)}_{= \bar{u}(x_2)} + \frac{1}{9} \underbrace{d^p(x_1) \bar{d}^{\bar{p}}(x_2)}_{= \bar{d}(x_2)} \right)$$

+  $\left. \begin{matrix} \text{mali doprinosi} \\ \propto \bar{u}^p \bar{u}^{\bar{p}} \text{ itd.} \end{matrix} \right\}$

$$f(x_1, x_2) \frac{dx_1 dx_2}{2M^2 dy}$$

$M^2 = \hat{s} = x_1 x_2 s$  - invarijentna masa leptonskog para





## Slaba međudjelovanja

QED i QCD su slabi : - zasnovani na baždernom načelu  
- besmase prijenosnici sile

Prosječno vrijeme živele čestice koje se raspadaju pod utjecajem tih sila

$$\frac{\tau_{QED}}{\tau_{QCD}} \sim \frac{\alpha_s^2}{\alpha^2} \sim \frac{(0.1-1)^2}{0.01^2} \sim 10^4$$

1 žuista  $\tau(\Delta^{++}) \sim 10^{-23}$  s (dominantno  $\Delta^{++} \rightarrow p\pi^+$ )  
 $\tau(\pi^0) \sim 10^{-16}$  s ( -||-  $\pi^0 \rightarrow \gamma\gamma$  )

All postoji i klasa puno sporijih procesa :  
- raspadi „stranih“ čestica  $\tau \sim 10^{-10}$  s } slaba sila  
-  $\tau(\text{neutron}) \sim 900$  s

Specifičnosti : - prijenosnici sile ( $W^\pm, Z^0$ ) su masivni  $\sim 100$  GeV  
- slaba sila naruđava paritet

## Prostorna inverzija (paritet)

P:  $\vec{x} \rightarrow -\vec{x}$ . Za očekivati je  $P^2 = 1$ .

Ali je to i simetrija onda je po Wignerovom teoremu  $P^2 = 1$ .  
 $\Rightarrow P^\dagger = P$  pa je P : hermitski i unitaran i  
svojevrsne vrijednosti su mu onda  $\pm 1$  (otud ime „paritet“)

Fizikalne veličine i druge objekte često klasificiramo obzirom na njihovu transformacijsku svojstva na paritet i na

### 1. rotacije $R_{ij}$

### 2. Lorentzove transformacije $\Lambda^\mu_\nu$

masa  $m \xrightarrow{R, P} m$  (skalar)

masa  $m \xrightarrow{\Lambda^\mu_\nu} m$  (skalar (Lorentzov))

impuls  $\vec{p} \xrightarrow{R} R\vec{p}$  (vektor)  
 $\xrightarrow{P} -\vec{p}$

4-impuls  $p^\mu \xrightarrow{\Lambda^\mu_\nu} \Lambda^\mu_\nu p^\nu$  (4-vektor ili Lorentzov vektor)  
 $\xrightarrow{P} p_\mu = (\vec{E}_1, -\vec{p})$

mom. impulsa  $\vec{L} \xrightarrow{R} R\vec{L}$  (apsolutni vektor)  
 $\xrightarrow{P} +\vec{L}$

4-potencijal  $A^\mu \xrightarrow{\Lambda^\mu_\nu} \Lambda^\mu_\nu A^\nu$  (-||-)  
 $\xrightarrow{P} (\phi, -\vec{A})$

helicitet  $\vec{s} \cdot \vec{p} \xrightarrow{R} \vec{s} \cdot \vec{p}$  (pseudoskalar)  
 $\xrightarrow{P} -\vec{s} \cdot \vec{p}$

(Vrijebje PZČI:)  
 $\bar{\psi} \gamma^\mu \gamma^5 \psi$  - apsolutni vektor  
 $\bar{\psi} \gamma^5 \psi$  - pseudoskalar

Paritet QM stanja je umnožak pariteta prostornog dijela  
valne funkcije (obično  $(-1)^l$ ) i intrinzičnog pariteta čestice.

Vrijedi i za Diracov čestica  $\boxed{P = \gamma^0}$ .  $\rightarrow = \begin{pmatrix} 1 & \\ & -1 \end{pmatrix}$

U sustavu mirovanja vidimo: (Dirac-Pauli reprezentacija)

$$P u(m, 0) = P N \begin{pmatrix} \chi \\ 0 \end{pmatrix} = N \begin{pmatrix} \chi \\ 0 \end{pmatrix} = +u(m, 0)$$

$$P v(m, 0) = P N \begin{pmatrix} 0 \\ \chi \end{pmatrix} = -N \begin{pmatrix} 0 \\ \chi \end{pmatrix} = -v(m, 0)$$

intrinzični pariteti čestice  
i antičestice su suprotni.

Ono ne vrijedi općenito i za ne-Diracove čestice. Npr i  $\pi^+$  i  $\pi^0$  su članovi  $J^P = 0^-$  pseudoskalarne četke.

Primjer: Raspad  $\rho^0 \rightarrow \pi^+ \pi^-$  je u skladu s očuvanjem pariteta jer

$$J^P(\rho^0) = 1^- \Rightarrow \ell(\pi^+ \pi^-) = 1 \Rightarrow P(\pi^+ \pi^-) = (-1) \cdot (-1) \cdot (-1)^l = -1 \checkmark$$

Ali raspad  $\eta^0 \rightarrow \pi^+ \pi^-$  narušava paritet (pa ga prema sila ne može inducirati) jer

$$J^P(\eta^0) = 0^- \Rightarrow \ell(\pi^+ \pi^-) = 0 \Rightarrow P(\pi^+ \pi^-) = (-1) \cdot (-1) \cdot (-1)^0 = +1 \downarrow$$

Kako iz Lagranžijane vidimo da QED i QCD čuvaju paritet?

$$\mathcal{L}_{int} = -g \bar{\psi} \gamma^\mu \psi A_\mu = -g \mathbf{j}^\mu A_\mu \quad (\text{vidi se real oblik jer je to skalarni produkt 4-vektora tj. skalar})$$

$$\psi \xrightarrow{P} \gamma^0 \psi \quad / \quad \bar{\psi} \xrightarrow{P} \bar{\psi} \gamma^0$$

$$\psi^+ \xrightarrow{P} \psi^+ \gamma^0 \quad / \quad \psi^- \xrightarrow{P} \bar{\psi} \gamma^0 \quad , \quad A_\mu = (\phi, -\vec{A}) \xrightarrow{P} (\phi, \vec{A}) = A^\mu$$

$$\mathcal{L}_{int} \xrightarrow{P} -g \bar{\psi} \underbrace{\gamma^0 \gamma^\mu \gamma^0}_{\begin{pmatrix} \gamma^0 & \mu=0 \\ -\gamma^i & \mu=i \end{pmatrix}} \psi \cdot \begin{pmatrix} A_0 & \mu=0 \\ -A_i & \mu=i \end{pmatrix} = \mathcal{L}_{int} \checkmark$$

QED i QCD međudjelovanje čuvaju paritet!

Nekad se vjerovalo da je paritet univerzalna simetrija.

Zagonetka: 2 čestice  $\pi^+$  i  $\rho^+$  koje su se raspdale u  $\ell=0$

$$\text{pronske stanje: } \pi^+ \rightarrow \pi^+ + \pi^+ + \pi^- \quad P(\pi\pi) = -1$$

$$\rho^+ \rightarrow \pi^+ + \pi^0 \quad P(\pi\pi) = +1$$

ali su imale isti masu i vrijeme života. (ista čestica =  $K^+$ )

Lee & Yang: slabe sile ne čuvaju P. Wu: itrajava potvrda u raspadu  $Co$ .

(vidi predavanje iz nuklearne fizike)

Dalje, ne može  $\mathcal{L}_{int} = -g \bar{\psi} \not{A} \psi$  nego se ustanovilo:

$$\mathcal{L}_{cc} = -\frac{g}{\sqrt{2}} \bar{\psi}_u \gamma^\mu \underbrace{\frac{1}{2}(1-\gamma^5)}_{\gamma^\mu - \gamma^\mu \gamma^5} \psi_d W_\mu$$

je odgovorno za  $\beta$ -razjed

↑  
"weak charged current"  
↓  
W±

( "V-A struja" )

Prisjetimo se; operator kiralnosti  $\gamma^5$ . Svojstvene vrij:  $\begin{matrix} +1 & \text{"desna" kiralnost} \\ -1 & \text{"lijeva"} \end{matrix}$   $\approx$  desna helicitet

Definiramo kiralne projektore:

$$\begin{array}{l|l} P_L = \frac{1}{2}(1-\gamma^5) & P_R + P_L = 1 \\ P_R = \frac{1}{2}(1+\gamma^5) & P_R - P_L = 1 \end{array} \quad \begin{array}{l} P_R^2 = P_R, P_L^2 = P_L \\ \gamma^\mu P_L = \gamma^\mu \frac{1}{2}(1-\gamma^5) = P_R \gamma^\mu \end{array}$$

i kiralne spinore  $u_L \equiv P_L u, u_R \equiv P_R u \Rightarrow u = (P_R + P_L)u = u_R + u_L$

$$\bar{u}_L = \overline{P_L u} = (P_L u)^\dagger \gamma^0 = u^\dagger \underbrace{\frac{1}{2}(1-\gamma^{5\dagger})}_{\gamma^0 \gamma^5 \gamma^0} \gamma^0 = \bar{u} \frac{1}{2}(1-\underbrace{\gamma^0 \gamma^5 \gamma^0}_{-\gamma^5}) = \bar{u} P_R$$

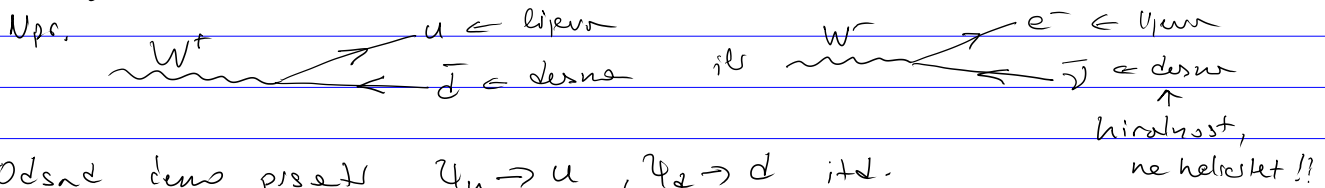
$$\mathcal{L}_{cc} = -\frac{g}{\sqrt{2}} \bar{\psi}_d \underbrace{\gamma^\mu P_L}_{\gamma^\mu P_L = P_R \gamma^\mu} \psi_u W_\mu = -\frac{g}{\sqrt{2}} \bar{\psi}_{dL} \gamma^\mu \psi_{uL} W_\mu$$

Kiralnost antičestice:  $\gamma_5 \approx 2\vec{S} \cdot \hat{p}$ , ali  $\vec{S}^{(e^+)} = -\vec{S}$

pa je  $\gamma_5 \psi = +\psi$  za lijevu antičestice

$$i P_L \psi = \frac{1}{2} (1 - \gamma_5) \psi = \psi_L$$

Dakle, V-A struktura ( $P_L$  projektor u  $\mathcal{L}_{cc}$ ) znači da W-boson interakciju isključivo s lijevim česticama, ali desnim antičesticama.



Odsad ćemo pisati  $\psi_1 \rightarrow u, \psi_2 \rightarrow d$  itd.

$$\mathcal{L}_{cc} = -\frac{g}{\sqrt{2}} \bar{\psi}_L \gamma^\mu u_L W_\mu \quad \text{gdje je u pr. } \psi_L \equiv P_L \psi = \begin{cases} P_L u \\ P_L d \end{cases} \text{ po potrebi}$$

i govorit ćemo uvijek lijevi spinor, čestice, ... misleći na  $P_L$ -projektor, i znači da je u slučaju popune antičestice ona zapravo bila desna.

Dakle, W<sup>±</sup> interakciju samo s česticama lijeve kiralnosti.  
 (Međeno da  $\mathcal{L}_{cc}$  maksimalno narušava paritet.)

W-propagator

$$\begin{aligned}
 \text{~~~~~} &= i \frac{\sum_{\lambda=1}^3 \epsilon_\mu^*(k, \lambda) \epsilon_\nu(k, \lambda)}{k^2 - m_W^2} = \frac{-i}{k^2 - m_W^2} \left( g_{\mu\nu} - \frac{k_\mu k_\nu}{m_W^2} \right) \\
 &\xrightarrow{k^2 \ll m_W^2} \frac{i g_{\mu\nu}}{m_W^2} \quad \left( \text{dovoljno dobro za raspad } \nu, \mu, \pi, \dots \quad |\vec{k}| \lesssim 1 \text{ GeV} \right)
 \end{aligned}$$

transverzalne polarizacije      longitudinalna polarizacije

## Buđderna teorije slabih sile

Možemo li  $\mathcal{L}_{cc}$  dobiti kao posljedicu neke buđderna načela?

Za razliku od fotona i gluona,  $W^\pm$  mijenjaju tip čestice ("okusi")

Napravimo  $\mathcal{L}$  po uzoru na  $\mathcal{L}_{QED} = \bar{e}(i\not{\partial} - e\not{A})e$  koji je bro posljedica simetrije  $e \rightarrow e^{-i\alpha(x)}e$ :

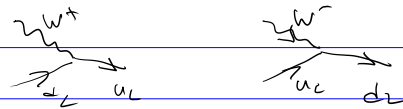
$$\mathcal{L} = (\bar{u}_L, \bar{d}_L) \left[ i\not{\partial} \begin{pmatrix} 1 & 0 \\ 0 & 1 \end{pmatrix} - \frac{g}{\sqrt{2}} \begin{pmatrix} 0 & 1 \\ 0 & 0 \end{pmatrix} \not{W}^+ - \frac{g}{\sqrt{2}} \begin{pmatrix} 0 & 0 \\ 1 & 0 \end{pmatrix} \not{W}^- \right] \underbrace{\begin{pmatrix} u_L \\ d_L \end{pmatrix}}_{\equiv Q_L}$$

$+ \bar{u}_R i\not{\partial} u_R + \bar{d}_R i\not{\partial} d_R$   
 $\uparrow$  "lijevi kvark"

Ova dva člana komplementarni konstruktivno daju

$$\bar{u} \gamma^\mu u = \bar{u} \gamma^\mu (P_L + P_R) u = \underbrace{\bar{u} \gamma^\mu P_L u}_{P_L \gamma^\mu P_L} + \underbrace{\bar{u} \gamma^\mu P_R u}_{P_R \gamma^\mu P_R} = \bar{u}_L \gamma^\mu u_L + \bar{u}_R \gamma^\mu u_R \quad / i q_\mu$$

$W^\pm$  članovi su odgovorni za  $\mathcal{L}_{cc} = -\frac{g}{\sqrt{2}} \bar{u}_L \not{W}^+ d_L - \frac{g}{\sqrt{2}} \bar{d}_L \not{W}^- u_L$



(I sklopo bi imali za leptonski kvark  $L_L = \begin{pmatrix} \nu_L \\ e_L \end{pmatrix}$  i  $e_R$  i  $\nu_{eR}$ .)

Ovakav  $\mathcal{L}$  bi moglo probati dobiti zahtjevom invarijantnosti na

$$Q_L \rightarrow e^{-i\alpha_L(x)} \begin{pmatrix} 0 & 1 \\ 0 & 0 \end{pmatrix} - i\alpha_L(x) \begin{pmatrix} 0 & 0 \\ 1 & 0 \end{pmatrix} Q_L$$

ali za QED slučaj znamo da moramo raditi s kompletnom skupom matrica s dobro definiranom komutacionim relacijama. Najmanji skup koji sadrži  $\begin{pmatrix} 0 & 1 \\ 0 & 0 \end{pmatrix}$  i  $\begin{pmatrix} 0 & 0 \\ 1 & 0 \end{pmatrix}$  je generiran generatorkama grupe  $SU(2)$ :

$$T_{1,2,3} = \frac{1}{2} \sigma_{1,2,3} \quad [T_i, T_j] = i \epsilon_{ijk} T_k$$

$\uparrow$  Paulijeve matrice  $\uparrow$  strukturne konstante za  $SU(2)$

Dakle tražimo invarijantnost na transformacije:

$$Q_L \rightarrow \underbrace{e^{-i\alpha_i(x)T_i}}_{\in SU(2)} Q_L \quad T_i W_i^A \rightarrow U W_i^A U^{-1} + \frac{i}{g} (\partial_\mu U) U^{-1}$$

(cf. DZ4)

po analogiji s  $SU(2)$  raspina koje je djelovala na dublete ( $\psi$ ) (nije bila baždarna simetrija) ova simetrija zovemo  $SU(2)$  „slabog raspina“ i često označavamo  $SU(2)_L$

$$\begin{aligned} \mathcal{L} &= \bar{Q}_L i \not{\partial} Q_L = \bar{Q}_L (i \not{\partial} - g T_i W_i^A) Q_L \\ &= \bar{Q}_L \gamma_\mu (i \not{\partial}^\mu - g \frac{1}{2} \begin{pmatrix} W_3^A & W_1^A & -i W_2^A \\ W_1^A + i W_2^A & & -W_3^A \end{pmatrix}) Q_L \quad (+U_R, d_R, L_L, e_L, \nu_R \text{ članovi}) \\ &= \bar{Q}_L \gamma_\mu \left\{ i \not{\partial}^\mu - \frac{g}{\sqrt{2}} \begin{pmatrix} 0 & 1 \\ 0 & 0 \end{pmatrix} \underbrace{\frac{1}{\sqrt{2}} (W_1^A - i W_2^A)}_{\equiv W_+^A} - \frac{g}{\sqrt{2}} \begin{pmatrix} 0 & 0 \\ 1 & 0 \end{pmatrix} \underbrace{\frac{1}{\sqrt{2}} (W_1^A + i W_2^A)}_{\equiv W_-^A} - \frac{g}{2} \begin{pmatrix} 1 & 0 \\ 0 & -1 \end{pmatrix} W_3^A \right\} Q_L \end{aligned}$$

U čemu je  $W_3^A$ ? To je neutralna čestica koje ne mijenja dms.

Foton? Ne, jer u leptonskom dijelu imamo  $(\bar{\nu}_L, \bar{e}_L) \begin{pmatrix} 1 & 0 \\ 0 & -1 \end{pmatrix} W_3^A \begin{pmatrix} \nu_L \\ e_L \end{pmatrix}$

tj.  $W_3^A$  interagira i s neutralnim.

U prirodi postoje i neutralna slaba međudjelovanja ( $\mathcal{L}_{nc}$ ) „neutral current“

koje prenosi  $Z^0$  bozon (slične mase kao  $W^\pm$ ). Npr.  $\nu \bar{\nu} \rightarrow \nu \bar{\nu}$  DIS raspršenje ili spinos se rezonance u Drell-Yan raspršenju.

No, poznato je da  $Z^0$  interagira i s  $e_L, \nu_L$  pa  $W_3 \neq Z^0$ .

Glashow, Salam i Weinberg: model elektroslabog međudjelovanja:

Dodajemo još jednu  $U(1)_Y$  baždarnu simetriju

$$\psi_{L,R} \rightarrow e^{-i\beta(x)Y} \psi_{L,R} \quad \text{„slabi hipernaboj“}$$

različit za  $\psi_L$  i  $\psi_R$

• to ne takav način da se odgovarajući bažderni bozon  $B_\mu$  miješa s  $W_\mu^3$  tako da formiraju  $A_\mu$  i  $Z_\mu$ .

Gauja simetrija elektroslabe teorije:

$$SU(2)_L \times U(1)_Y$$

Četveroparameterska simetrija  $\psi_L(x), \psi_R(x) \Rightarrow$  4 bažderna bozona  $W^+, W^-, Z^0, \gamma$

$$\mathcal{L}_{\text{nc}} = \bar{Q}_L \gamma_\mu \left( -g T_3 W_\mu^3 - g' \frac{Y}{2} B^\mu \right) Q_L + \bar{U}_R \gamma_\mu \left( -g' \frac{Y}{2} B^\mu \right) U_R + \bar{d}_R \gamma_\mu \left( -g' \frac{Y}{2} B^\mu \right) d_R + (Q_L \rightarrow L_L, U_R \rightarrow \nu_R, d_R \rightarrow e_R)$$

Miješanje neutralnih baždernih bozona s

$$\begin{cases} A_\mu = B_\mu \cos \vartheta_w + W_\mu^3 \sin \vartheta_w \\ Z_\mu = -B_\mu \sin \vartheta_w + W_\mu^3 \cos \vartheta_w \end{cases} \quad \left. \begin{array}{l} \\ \end{array} \right\} \vartheta_w \text{ "weak" ili "Weinberg"}$$

tj.

$$\begin{aligned} B_\mu &= A_\mu \cos \vartheta_w - Z_\mu \sin \vartheta_w \\ W_\mu^3 &= A_\mu \sin \vartheta_w + Z_\mu \cos \vartheta_w \end{aligned}$$

$$\begin{aligned} \text{Pokerate: } c_w &= \cos \vartheta_w \\ s_w &= \sin \vartheta_w \end{aligned}$$

Uvrštavanjem gore dobivamo:

$$\begin{aligned} \mathcal{L}_{\text{nc}} &= \bar{Q}_L \gamma_\mu \left[ -g T_3 (A_\mu s_w + Z_\mu c_w) - g' \frac{Y}{2} (A_\mu c_w - Z_\mu s_w) \right] Q_L \\ &+ \bar{U}_R \gamma_\mu \left[ -g' \frac{Y}{2} (A_\mu c_w - Z_\mu s_w) \right] U_R + (U_R \rightarrow d_R) + (\text{leptoni: } \nu) \\ &= A_\mu \left\{ \bar{Q}_L \gamma_\mu \left[ -g T_3 s_w - g' \frac{Y}{2} c_w \right] Q_L + \bar{U}_R \gamma_\mu \left[ -g' \frac{Y}{2} c_w \right] U_R + (U_R \rightarrow d_R) + (\text{leptoni}) \right\} \\ &+ Z_\mu \left\{ \dots c_w \dots - s_w \dots \dots \dots - s_w \dots \dots \dots \right\} \end{aligned}$$

No znamo da  $\mathcal{L}_{\text{nc}}$  mora sadržavati

$$\begin{aligned} \mathcal{L}_{\text{em}} &= A_\mu \bar{u} \gamma_\mu (-eQ) u + \dots \\ &P_L + P_R = 1 \\ &= A_\mu \left\{ \bar{u}_L \gamma_\mu (-eQ) u_L + \bar{u}_R \gamma_\mu (-eQ) u_R + \dots \right\} \end{aligned}$$

Usporedbom:

R-dio:  $eQ = g' \frac{Y}{2} c_W$

L-dio:  $eQ = g T_3 s_W + g' \frac{Y}{2} c_W$

pa je sve O.K. ako uzmemo

{ Mogući su i drugačiji izbori. Npr. kombinujemo  $g' \frac{Y}{2}$  je "nepotrebno". }

$$e = g \sin \theta_W = g' \cos \theta_W$$

$$Q = T_3 + \frac{Y}{2}$$

← vrijedi i za R-dio jer  $T_3 U_R = T_3 d_R = \dots = 0$

	Q	T <sub>3</sub>	Y = 2(Q - T <sub>3</sub> )
$Q_L = \begin{pmatrix} u_L \\ d_L \end{pmatrix}$	2/3	1/2	} 4/3
	-1/3	-1/2	
$U_R$	2/3	0	4/3
$d_R$	-1/3	0	-2/3
$L_L = \begin{pmatrix} \nu_L \\ e_L \end{pmatrix}$	0	1/2	} -1
	-1	-1/2	
$e_R$	-1	0	-2
$\nu_R$	0	0	0

← nema baždarnih međudjelovanja

Vezanje Z-bosona:

$= g \frac{\Delta W}{c_W}$

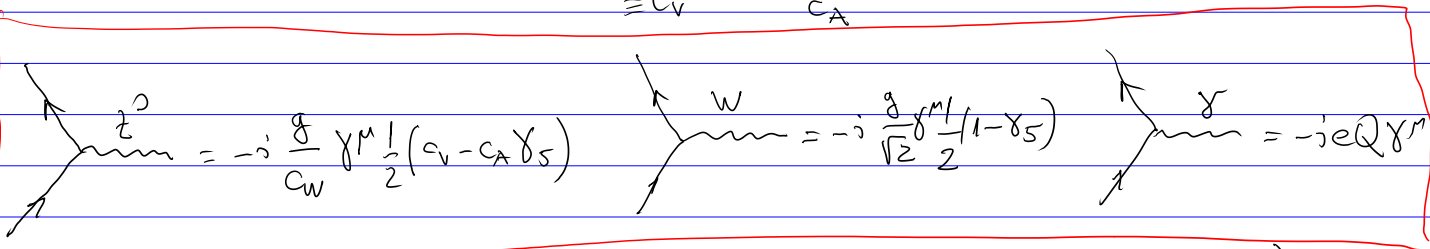
$$L_{int} = A_\mu (\dots) + Z_\mu \left\{ \overline{Q}_L \gamma_\mu \left[ -g T_3 c_W - g' \frac{Y}{2} (-s_W) \right] Q_L + \overline{U}_R \gamma_\mu \left[ -g' \frac{Y}{2} (-s_W) \right] U_R + \dots \right\}$$

$\underbrace{-g T_3 c_W}_{= Q - T_3} \quad \quad \quad \underbrace{-g' \frac{Y}{2} (-s_W)}_{= Q}$

$$- \frac{g}{c_W} \left\{ \overline{u} \gamma_\mu \left( T_3 c_W^2 - (Q - T_3) s_W^2 \right) \frac{1}{2} (1 - \gamma_5) u + \overline{u} \gamma_\mu \left( Q s_W^2 \right) \frac{1}{2} (1 + \gamma_5) u + \dots \right\}$$

$\downarrow$   
(u)

$$\overline{u} \gamma_\mu \frac{1}{2} \left[ \underbrace{(T_3 - 2Q s_W^2)}_{\equiv c_V} - \underbrace{T_3}_{c_A} \gamma_5 \right] u + (u \rightarrow d)$$



exp.  $\Delta W^2 = 0.231$

(Umjesto  $g$ :  $g'$  obično se koriste  $\alpha$  i  $s_W$ .)  
↑  
kao precizno postat



$SU(2)_L \times U(1)_Y$  baždarna simetrija opisuje elektro-slabo međudjelovanje fermiona (kvarkova i leptona) putem izmjene  $\gamma, W^\pm$  i  $Z^0$  baždarnih bozona.

Ali jednačba gibanja za masivne vektorske bozone, tzv. Proca jednadžba, sledi iz lagrangijana

$$\mathcal{L}_{\text{Proca}} = -\frac{1}{4} F_{\mu\nu} F^{\mu\nu} + \frac{1}{2} m_A^2 A_\mu A^\mu$$

Masivne čestice:  
 $\mathcal{L}_{\text{Dirac}} = \dots = m \bar{\psi} \psi$   
 $\mathcal{L}_{\text{Klein-Gordon}} = \dots = m^2 \phi^2$

gdje član mase narušava baždarnu simetriju usljed nehomogene transformacije  $A_\mu \rightarrow A_\mu + \frac{1}{g} \partial_\mu \chi$

To nije samo estetski problem. Baždarna simetrija je ključna za kontrolu beskonačnosti koje se pojavljuju u višim redovima računa smetnje jer omogućuje tzv. renormalizaciju teorije.

Rješenje problema: Higgsov mehanizam  
 (poznat i kao „spontani lom baždarne simetrije“)

Terminologija: kad se govori samo „baždarna transformacija“ misli se na lokalnu. „Baždarna teorija“ = teorija s lokalnom baždarnom simetrijom, izgrađena na baždarnom načelu.

Spontani lom globalne simetrije

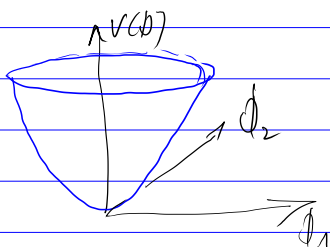
Kompleksno skalarno polje  $\phi = \frac{1}{\sqrt{2}} (\phi_1 + i\phi_2)$

$$\mathcal{L} = (\partial_\mu \phi)^* (\partial^\mu \phi) - \underbrace{\mu^2 \phi^* \phi - \frac{\lambda}{4} (\phi^* \phi)^2}_{\equiv -V(\phi)}$$

↳ Klein-Gordonova jednadžba (ovjerite se!)

$$V(\phi) = \frac{1}{2} \mu^2 (\phi_1^2 + \phi_2^2) + \frac{\lambda}{4} (\phi_1^2 + \phi_2^2)^2$$

$\lambda > 0, \mu^2 > 0$

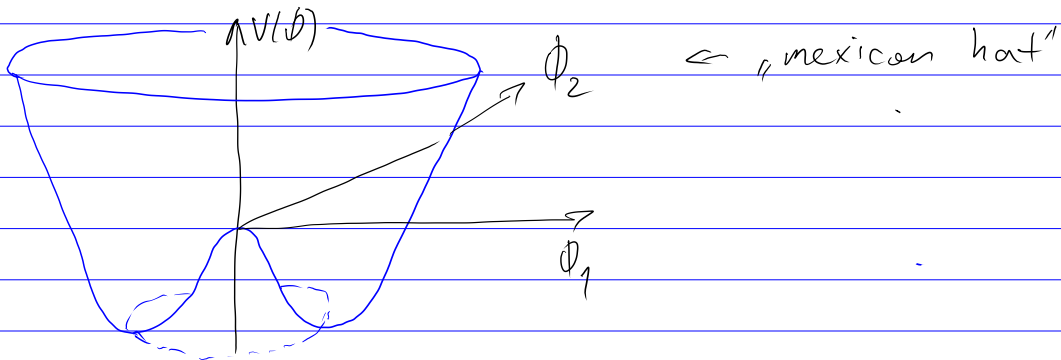


0 minimum  $V(\phi)$  imamo  $\phi_{1,2} = 0$   
 $\equiv$  vakuum

i teorija opisuje čestice mase  $\mu$   
 i njih antičestice ( $\phi$ ;  $\phi^*$ )

1 kompleksna  $\Leftrightarrow$  dva realna stupnja slobode

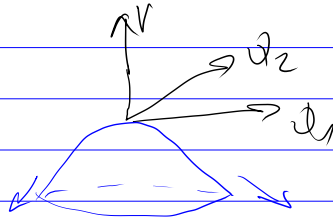
No, u slučaju  $\mu^2 < 0, \lambda > 0$



Minimum:  $\frac{\partial V}{\partial \phi} = \mu^2 \phi^* + 2\lambda (\phi \phi^*) \phi^* = 0$  +:  $(\phi \phi^*) = -\frac{\mu^2}{2\lambda}$   
 $\frac{1}{2}(\phi_1^2 + \phi_2^2)$

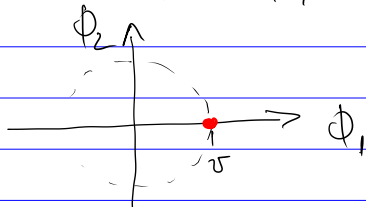
Kružnica  $\phi_1^2 + \phi_2^2 = -\frac{\mu^2}{\lambda} = v^2 > 0$

Usput,  $\lambda < 0$  je zabranjeno jer vodi na teoriju bez stabilnog minimuma



$\int$  ima simetriju na  $\phi(x) \rightarrow e^{-ix} \phi(x)$   
 $\in U(1)$  - rotacija u  $(\phi_1, \phi_2)$ -ravni

ali vakuumske stanje će biti konkretna točka npr. možemo odabrati (zadržavajući simetriju)  $\phi_{vac} = (v, 0)$



$v \equiv$  „vacuum expectation value“  $\equiv$  „vev“

čestice in poboženja okoli tega minimuma

$$\phi(x) = \frac{1}{\sqrt{2}} (v + \eta(x) + i\xi(x))$$

$$\mathcal{L} = \frac{1}{2} (\partial_\mu \eta)(\partial^\mu \eta) + \frac{1}{2} (\partial_\mu \xi)(\partial^\mu \xi) - V(\eta, \xi)$$

$$\phi^\dagger \phi = \frac{1}{2} (v + \eta - i\xi)(v + \eta + i\xi) = \frac{1}{2} (v^2 + 2v\eta + \eta^2 + \xi^2)$$

$$V = \underbrace{\left(-\frac{\lambda v^2}{2}\right)}_{\text{interakcijski členovi}} (v^2 + 2v\eta + \eta^2 + \xi^2) + \frac{\lambda}{4} (v^2 + 2v\eta + \eta^2 + \xi^2)^2$$

$v^4 + 4v^3\eta + 2v^2\eta^2 + 4v^2\xi^2 + 2v\eta\xi^2 + \eta^2\xi^2$

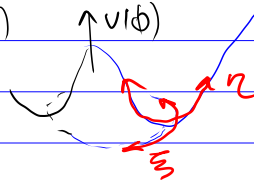
$$= -\frac{\lambda}{4} v^4 + \eta^2 \left( -\frac{\lambda v^2}{2} + \frac{\lambda v^2}{2} + \lambda v^2 \right) + \xi^2 \left( -\frac{\lambda v^2}{2} + \frac{\lambda v^2}{2} \right) + \text{interakcijski členovi}$$

$\underbrace{\hspace{10em}}_{\equiv \frac{1}{2} m_\eta^2 \eta^2} \qquad \underbrace{\hspace{10em}}_{=0}$

$m_\eta^2 = 2\lambda v^2$

$m_\xi = 0$

$\xi$  - „Goldstoneov bozon“: brezmasena čestica ki je odgovorna poboženju okoli minimuma  $V(\phi)$



(\*) Digresija

Goldstoneov teorem: spontan lom n-parametrski simetrije rezultira pojavom n brezmasenih čestec.

Ovdje:  $\mathbb{Z} \rightarrow e^{-i\alpha} \mathbb{Z} \xrightarrow{\text{SSB}} \xi$

QCD: približna simetrija  $u \sim \begin{pmatrix} u \\ d \end{pmatrix} \rightarrow e^{-i \sum_{i=1}^3 \alpha_i \frac{\tau_i}{2}} \begin{pmatrix} u \\ d \end{pmatrix} \xrightarrow{\text{SSB}} \pi^0, \pi^\pm$

↑  
„približno“  
brezmasen

## Higgsov mehanizam

Dodajemo skalarno polje  $\phi(x)$  u teoriju s lokalnom baždarnom  $U(1)$  simetrijom

$(\partial_\mu \phi)^* (\partial^\mu \phi)$  nije invarijantno na  $\phi(x) \rightarrow e^{-i\alpha(x)} \phi(x)$

pa kao i u QED moramo uvesti baždarnu bozon  $B_\mu(x)$

$$\partial_\mu \rightarrow D_\mu = \partial_\mu + ig B_\mu \quad B_\mu \rightarrow B_\mu + \frac{1}{g} \partial_\mu \alpha$$

$$\mathcal{L} = (D_\mu \phi)^* (D^\mu \phi) - \frac{1}{4} F_{\mu\nu} F^{\mu\nu} - V(\phi) + \cancel{\frac{1}{2} m B_\mu B^\mu} \quad \text{nije invarijantno}$$

$$V(\phi) = \mu^2 \phi^* \phi + \lambda (\phi^* \phi)^2$$

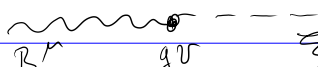
kao i ranije reparametriziramo  $\phi(x)$  preko fluktuacije oko minimuma:

$$\phi(x) = \frac{1}{\sqrt{2}} (\nu + \eta(x) + i \xi(x)) \quad \nu^2 = -\frac{\mu^2}{\lambda}$$

$$\begin{aligned} \mathcal{L} &= \frac{1}{2} \left[ \underbrace{(\partial_\mu - ig B_\mu)}_{\text{isto kao ranije}} (\nu + \eta - i \xi) \right] \underbrace{(\partial^\mu + ig B^\mu)}_{\text{isto kao ranije}} (\nu + \eta + i \xi) - \frac{1}{4} F_{\mu\nu} F^{\mu\nu} - V(\phi) \\ &= \underbrace{\frac{1}{2} (\partial_\mu \eta) (\partial^\mu \eta)}_{\text{masivni } \eta} - \lambda \nu^2 \eta^2 + \underbrace{\frac{1}{2} (\partial_\mu \xi) (\partial^\mu \xi)}_{\text{besmaslen } \xi} + 0 \times \xi^2 - \\ &\quad - \underbrace{\frac{1}{4} F_{\mu\nu} F^{\mu\nu} + \frac{1}{2} \nu^2 g^2 B_\mu B^\mu}_{\text{masivni } B_\mu !!} + \nu g B^\mu \partial_\mu \xi + (\text{interakcijski članovi}) \end{aligned}$$

Problemi:

- 1) Dva gornje lagranžijana bi trebala biti identična (razlikuju se samo za reparametrizaciju  $(\phi_1, \phi_2) \rightarrow (\eta, \xi)$ ), ali odnosed se pojavio dodatni stupanj slobode  
besmaslen  $B_\mu$  (2 polarizacije)  $\rightarrow$  masivni  $B_\mu$  (3 polarizacije)

- 2) Miješani član 

Mogućnost pretvorbe  $B_{\text{longitudinalno}}^M \leftrightarrow \xi$  mijenja se  
 $\uparrow$  može se pokazati

$B^M$  i  $\xi$  imaju iste samo 3 polarizacione stupnjeve slobode,

To se najbolje vidi u tzv. unitarnom baždarenju:

Dio lagranžijana  $\rightarrow B^M$  i  $\xi$  možemo prepisati kao

$$\frac{1}{2} g^2 v^2 \left( B_\mu + \frac{1}{g v} \partial_\mu \xi \right)^2 = \frac{1}{2} g^2 v^2 B'_\mu B'^\mu$$

gdje je  $B'_\mu$  baždarno transformirano polje

$$B'_\mu = B_\mu + \frac{1}{g} \partial_\mu \alpha ; \quad \alpha(x) = \frac{\xi(x)}{v}$$

Odgovarajuća transformacija skalarnog polja

$$\phi = \frac{1}{\sqrt{2}} (v + \eta(x) + i \xi(x)) \simeq \frac{1}{\sqrt{2}} e^{i \frac{\xi(x)}{v}} (v + h(x))$$

jest

$$\phi' = e^{-i \alpha(x)} \phi = e^{-i \frac{\xi(x)}{v}} \phi = \frac{1}{\sqrt{2}} (v + h(x))$$

tj. imamo samo jedno realno polje  $h(x)$ : Higgsovo polje.

Kažemo da u Higgsovom mehanizmu nesiteni Goldstoneov bozon  $\xi(x)$  biva "pojeden" od baždarnog polja i pretvoren u longitudinalni stupanj slobode čime baždarno polje dobiva masu.

Iz lagranžijana očitamo masu

$$\left( \begin{array}{ll} \text{realni skalar: } \mathcal{L}_m = -\frac{1}{2} m^2 \phi^2 & \text{Diracov fermion: } \mathcal{L}_m = -m \bar{\psi} \psi \\ \text{kompleksni skalar: } \mathcal{L}_m = -m^2 \phi^* \phi & \text{vektorski bozon: } \mathcal{L}_m = +\frac{1}{2} m B_\mu B^\mu \end{array} \right)$$

pa vidimo:

$$m_B = g v \quad m_h = \sqrt{2} g v$$

Higgsov mehanizam u standardnom modelu

Želimo dati masu jednom neutralnom ( $Z^0$ ) i dvama nabijenim baždarnim bozonima ( $W^\pm$ ).

Minimalni Higgsov mehanizam uključuje  $su(2)_L$  dublet

$$\phi = \begin{pmatrix} \phi^+ \\ \phi^0 \end{pmatrix} \leftarrow \text{dva kompleksna polja: } \begin{aligned} (\phi^+)^* &= \phi^- \\ (\phi^0)^* &\neq \phi^0 \end{aligned}$$

$$Y(\phi) = 2(Q - T_3) = 2(0 - (-\frac{1}{2})) = +1$$

$\uparrow$  npr.  $\phi^0$

$$\mathcal{L} = (D_\mu \phi)^\dagger (D^\mu \phi) - V(\phi) + \dots; \quad D_\mu = \partial_\mu + igT^i W_\mu^i + ig' \frac{1}{2} B_\mu$$

$$V(\phi) = \underbrace{\mu^2}_{\leq 0} \phi^\dagger \phi + \underbrace{\lambda}_{\geq 0} (\phi^\dagger \phi)^2$$

Minimumi su na hipersferi  $\frac{\partial V}{\partial \phi} = 0 = \mu^2 \phi^\dagger + 2\lambda (\phi^\dagger \phi) \phi^\dagger \Rightarrow \phi^\dagger \phi = -\frac{\mu^2}{2\lambda}$

Unitarno baždarenje:

$$\phi' = \frac{1}{\sqrt{2}} \begin{pmatrix} 0 \\ v+h(x) \end{pmatrix}; \quad \phi = \frac{1}{\sqrt{2}} \begin{pmatrix} \phi_1 + i\phi_2 \\ v+h+i\phi_3 \end{pmatrix}$$

$\nearrow$  ovo de projektir  $W^\pm$ ,  
 $\searrow$  ovo  $Z^0$

Ne pišemo više crtice;  $\phi'_i, B'_i \rightarrow \phi_i, B_i$  i podrazumijevamo unitarno baždarenje.

Mase baždarnih bozona određene su diplom Lagranžijevom

$$\mathcal{L} \supset \left| \left( ig \frac{\tau^i}{2} W_\mu^i + ig' \frac{1}{2} B_\mu \right) \begin{pmatrix} 0 \\ v/\sqrt{2} \end{pmatrix} \right|^2 = \frac{v^2}{8} \left| \sum_{a=1}^4 g_a \tau^a W_\mu^a \begin{pmatrix} 0 \\ 1 \end{pmatrix} \right|^2$$

$$\left. \begin{aligned} a &= 1, 2, 3, 4 & W_\mu^a &= B_\mu, & g_4 &= g', & g_{1,2,3} &= g \\ \tau_a &= \begin{pmatrix} 1 & 0 \\ 0 & 1 \end{pmatrix} \end{aligned} \right\}$$

$$= \frac{v^2}{8} g_a g_b \underbrace{(\chi^\dagger \tau_a^\dagger \tau_b \chi)}_{\delta_{ij} + i\epsilon_{ijk} \tau_k \text{ for } a,b=1,2,3} W_\mu^a W^\mu b \equiv \frac{1}{2} M_{ab}^2 W_\mu^a W^\mu b$$

$$M_{ab}^2 = \frac{v^2}{4} \begin{pmatrix} g^2 + g'^2 & 0 & 0 & 0 \\ +ig^2 & g^2 & 0 & 0 \\ 0 & 0 & g^2 & -gg' \\ 0 & 0 & -gg' & g^2 \end{pmatrix}$$

Obzirom da je struktura  $W_\mu^a W_\mu^b$  simetrična na  $a \leftrightarrow b$  bitno je samo simetričan dio od  $M_{ab}^2$ :

$$M_{ab}^2 = \frac{v^2}{4} \begin{pmatrix} g^2 & & & \\ & g^2 & & \\ & & g^2 - gg' & \\ & & -gg' & g'^2 \end{pmatrix} \rightarrow \text{Odmah vidimo: } \boxed{m_{W^+} = m_{W^-} = \frac{1}{2} g v}$$

Ovo treba dijagonalizirati. Svo vrijednosti su mase  $g$  i  $g'$ .

$$\begin{vmatrix} g^2 - \lambda & -gg' \\ -gg' & g'^2 - \lambda \end{vmatrix} = \underbrace{(g^2 - \lambda)(g'^2 - \lambda)}_{g^2 g'^2 - \lambda(g^2 + g'^2) + \lambda^2} - g^2 g'^2 = 0 \Rightarrow \lambda(\lambda - (g^2 + g'^2)) = 0$$

$$\lambda_1 = 0 \rightarrow \boxed{m_A = 0}$$

$$\lambda_2 = g^2 + g'^2 \rightarrow \boxed{m_Z = \frac{1}{2} v \sqrt{g^2 + g'^2}}$$

(\*)

Digresija:

Definiramo li svojstvene vektore  $A_\mu$  i  $Z_\mu$  preko mješavine  $W_\mu^3$  i  $Z_\mu = W_\mu^3$  onda  $m_A = 0$  mači

$$\begin{pmatrix} s_W A_\mu & c_W A_\mu \end{pmatrix} \begin{pmatrix} g^2 & -gg' \\ -gg' & g'^2 \end{pmatrix} \begin{pmatrix} s_W A_\mu \\ c_W A_\mu \end{pmatrix} = \begin{pmatrix} s_W A_\mu & c_W A_\mu \end{pmatrix} \begin{pmatrix} g^2 s_W - gg' c_W \\ -gg' s_W + g'^2 c_W \end{pmatrix} A_\mu$$

$$= A_\mu A^\mu (g^2 s_W^2 - gg' s_W c_W \cdot 2 + g'^2 c_W^2) = A_\mu A^\mu (g s_W - g' c_W)^2$$

$\frac{1}{2} m_\gamma = 0$

$$\Rightarrow g s_W = g' c_W \quad \text{ili} \quad \boxed{t_W = \frac{g'}{g}}$$

što je konstantno s ranijim rezultatima.

Ekperimenti:  $\alpha = \frac{e^2}{4\pi} = \frac{1}{137}$ ,  $\sin^2 \theta_W = 0.231$

$$\text{Iz } e = g \sin \theta_W \rightarrow g = \dots$$

$$\boxed{M_W = \frac{1}{2} g v = \underset{\text{exp.}}{80.4 \text{ GeV}}} \Rightarrow \boxed{v = 246 \text{ GeV}}$$

$\sim$  "skala elektroslabe fizike"

$$\frac{M_W}{M_Z} = \frac{\frac{1}{2} v g}{\frac{1}{2} v \sqrt{g^2 + g'^2}} = \frac{1}{\sqrt{1 + g'^2/g^2}} = \frac{1}{\sqrt{1 + \tan^2 \theta_W}} = \cos \theta_W = \sqrt{1 - 0.231} = 0.876$$

exp:  $\boxed{M_Z = 91.2 \text{ GeV}}$

$$g = \frac{M_W^2}{M_Z^2 \cos^2 \theta_W} = 1$$

exp:  $g = 1.006$

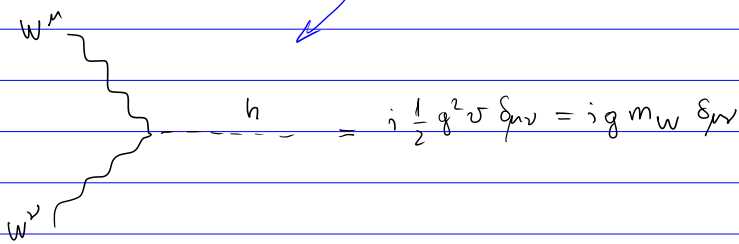
$\uparrow$   
kvantne korekcije  
SM je o.k.

Vetanje Higgson i baždarnih bozona

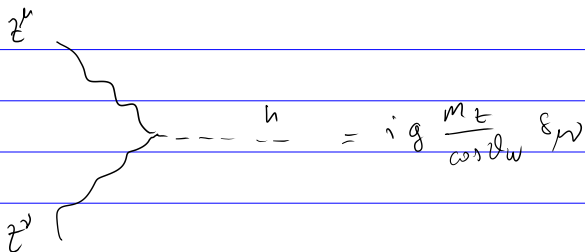
Maseno dio  $\mathcal{L} \supset m_W W^\mu W_\mu^- = \left(\frac{1}{2} g v\right)^2 W^\mu W_\mu^-$

samo dobili iz  $\phi = \frac{1}{\sqrt{2}} \begin{pmatrix} 0 \\ v+h \end{pmatrix}$ . Da smo zadržali  $h(x)$  imali bi

$\mathcal{L} \supset \frac{1}{4} g^2 \underbrace{(v+h)^2}_{v^2 + 2v \cdot h + h^2} W^\mu W_\mu^-$



i slino



Baždarni bozoni se vežu na Higgson proporcionalno svojoj masi. Vidjet ćemo da to vrijedi i za fermione.

Masa Higgsovog bozona je (isto kao u jedinstvenom primjenu s  $U(1)$  simetrijom, uvjerite se):

$m_h = \sqrt{2\lambda v^2}$  ( $\Rightarrow \lambda \approx 0.13$ )



To što je jedan od 4 baždarnih bozona (foton) ostao bezmasen je zato što je nakon lomne simetrije (i fiksiranje unutarnog baždarenja) valunumska stanje

$$\phi_0 = \frac{1}{\sqrt{2}} \begin{pmatrix} 0 \\ v \end{pmatrix}$$

i dalje invarijantno na jednoparametersku podgrupu originalne četveroparameterske grupe simetrije definiran putem

$$\alpha_1 = \alpha_2 = 0 \quad \alpha_3 = \beta :$$

$$e^{-i\alpha_i T_i} e^{-i\beta \frac{Y}{2}} \phi_0 = e^{-i\beta \left( T_3 + \frac{Y}{2} \right)} \phi_0 = e^{-i\beta Q} \phi_0 = \phi_0$$

jer

$$Q \phi_0 = 0 \quad (\text{valunum je električno neutralan})$$

Baždarna simetrija  $e^{i\beta(x)Q}$  odgovara em sili pa se često govori o spontanom lomni

$$SU(2)_L \otimes U(1)_Y \longrightarrow U(1)_{em}$$

\* Digresija:

All to je više stvar izbora unutarnog baždarenja i  
 "strictly speaking there is no spontaneous breaking of local symmetry" (F. Englert, Nobel lecture, Rev-Mod-Phys. 86 (2014) No. 3, 843)

## Mase fermiona u standardnom modelu

Maseni dio Diracovog lagranžijana (npr.  $\tau$  i  $\nu$ )

$$\mathcal{L}_m = -m \bar{U} U = -m \bar{U}_L U_L - m \bar{U}_R U_R = -m \bar{U}_R U_L + h.c.$$

$\uparrow$   
 $P_L^2 + P_R^2 = 1$

nije invarijantan na  $SU(2)_C \times U(1)_Y$  jer se L i R  
kiralne komponente različito transformiraju.

$U_L$  je dio dubleta  $\begin{pmatrix} u_L \\ d_L \end{pmatrix}$  i invarijantne članove lagranžijana

treba graditi od cijelih multipleta (kao što članove  
invarijantne na rotacije gradimo kao  $\vec{a} \cdot \vec{b}$ , a ne  $a_x b_x$ ).

U  $\mathcal{L}_m$  dodajemo tzv. **Yukawine** članove:

$$\mathcal{L}_Y = -g_d \bar{Q}_L \phi d_R + h.c. = -g_d (\bar{u}_L, \bar{d}_L) \frac{1}{\sqrt{2}} \begin{pmatrix} 0 \\ v+h \end{pmatrix} d_R + h.c.$$

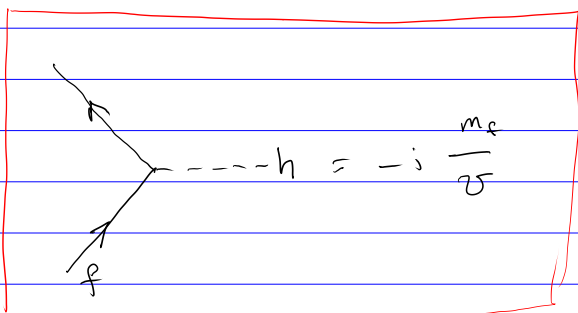
↑  
"Yukawino vezanje"
↑  
unitarno baždarenje

$$= - \frac{g_d v}{\sqrt{2}} \bar{d}_L d_R + \frac{g_d}{\sqrt{2}} h \bar{d}_L d_R + h.c.$$

$\underbrace{\hspace{1.5cm}}_{=m_d}$

$$= -m_d \bar{d} d - \frac{m_d}{v} h \bar{d} d \quad \left( \text{za elektron sve je identično.} \right)$$

(Mase čestice su proporcionalne njihovom vezanju na  
Higgsovo polje.)



Za mase gornjih kvarkova (o gornjim leptonima +  
neutrinoima da bitu riječi naknadno) treba nam  
konfiguraciju Higgsov dublet

$$\phi_c \equiv i \sqrt{2} \phi^* = \begin{pmatrix} \phi_0^* \\ -\phi^- \end{pmatrix}$$

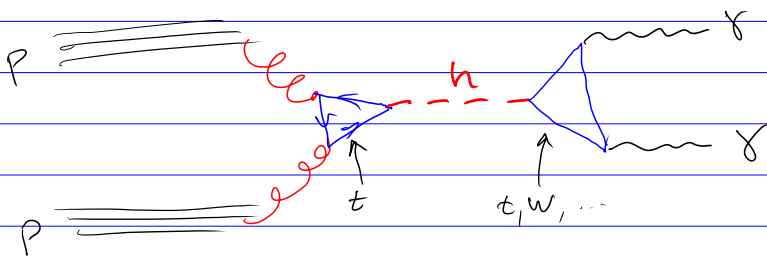
koji se transformira (vidi Thomsona) isto kao  $\phi$  pa je

$$\mathcal{L}_Y = -g_u \bar{Q}_L \phi_c u_R + \text{h.c.}$$

isto invarijantno i odmah daje

$$\mathcal{L}_Y = - \underbrace{\left( \frac{g_u v}{\sqrt{2}} \right)}_{=m_u} \bar{u} u + \frac{g_u}{\sqrt{2}} h \bar{u} u$$

Otkriće na LHC-u 2012. :



$$\Rightarrow m_H = 125 \text{ GeV}$$

ukazuje na značaj proporcionalnosti vezanje  
Higgsovog bozona s masom čestice.

CKM matrica miješanja olusa

Radi jednostavnosti smo se dosad držali jedne generacije fermiona

$$Q_L = \begin{pmatrix} u_L \\ d_L \end{pmatrix}, u_R, d_R, L_L = \begin{pmatrix} \nu_L \\ e_L \end{pmatrix}, e_R, (\nu_R)$$

No u prirodi fermioni dolaze u 3 generacije

$$Q_{iL} \quad i=1,2,3 \quad Q_{1L} = \begin{pmatrix} u_L \\ d_L \end{pmatrix}, Q_{2L} = \begin{pmatrix} c_L \\ s_L \end{pmatrix}, Q_{3L} = \begin{pmatrix} t_L \\ b_L \end{pmatrix}$$

(i isto za  $L_{iL}, U_{iR}, \dots$ ).

Fermioni iz različitih generacija se razlikuju samo po masi, a imaju iste transformacione svojstva (unboje) obzirom na baždarnu grupu SM:  $SU(3)_C \times SU(2)_L \times U(1)_Y$ .

Yukawina vezanje (fermion-fermion-Higgs) imaju svi (i jesu) i sami različitih generacija:

$$\mathcal{L}_Y = -g_{ij}^{(d)} \bar{Q}_{iL} \phi d_{jR} - g_{ij}^{(u)} \bar{Q}_{iL} \phi^c u_{jR} + h.c. + \text{leptoni}$$

$g_{ij}$  su proizvoljni kompleksni brojevi što putem Higgsovog mehanizma vodi na nedijagonalne i kompleksne masene parametre

$$\mathcal{L}_Y = - \frac{g_{ij}^{(d)} v}{\sqrt{2}} \bar{d}_{iL} d_{jR} + h.c. + \dots$$

$m_{ij}^{(d)} \in \mathbb{C}, \neq \delta_{ij}$

Proizvoljne kompleksne matrice se može dijagonalizirati s duje unitarne tj. postoje unitarne  $S^{(d)}$  i  $T^{(d)}$ , te dijagonalna

$$M^{(d)} = \begin{pmatrix} m_a & 0 \\ 0 & m_b \end{pmatrix} \quad m_i \geq 0 \quad (\in \mathbb{R})$$

t.d.

$$\frac{v}{\sqrt{2}} S^{(d)\dagger} g^{(d)} T^{(d)} = M^{(d)}$$

(\*) Za dokaz vidi priloge na Merlino.

(Mijenjamo oznaku  $g \rightarrow g'$  u gornjim izrazima kako bi oznaka  $g$  bila za kvarkove i dobro definiranom masom.)

$$\mathcal{L}_Y = -\frac{g}{\sqrt{2}} \bar{d}'_{iL} g_{ij}^{(d)} d_{jR} + h.c. + \dots$$

$$S S^\dagger = 1 \quad \downarrow \quad = -\bar{d}'_{iL} \left( S^{(d)} M^{(d)} T^{(d)\dagger} \right)_{ij} d'_{jR} + h.c. + \dots$$

$$= \left. \begin{matrix} \text{definiramo } d'_R = T^{(d)} d_R, \quad d'_L = S^{(d)} d_L \end{matrix} \right\} \quad (*)$$

$$= -\sum_{i=d,s,b} m_i \bar{d}'_{iL} d'_{iR} + h.c. + \dots$$

Zbog ortogonalnosti  $T$  i  $S$ , transformacije (\*) nema utjecaja na veći dio  $\mathcal{L}_{SM}$ :

1) kinetički članovi

$$\bar{d}'_i (i\not{\partial}) d'_i = \bar{d}'_{iL} (i\not{\partial}) d'_{iL} + (L\text{OR}) = \bar{d}'_{iL} (i\not{\partial}) d_{iL} + (L\text{OR})$$

$S S^\dagger = 1$

2) interakcije s Higgsovom

$\phi = \frac{1}{\sqrt{2}} \begin{pmatrix} 0 \\ v+h \end{pmatrix}$  pa dijagonalizacija mase ( $\propto v$ )  
 povlači: i dijagonalnu interakciju s Higgsovom

$$\begin{matrix} d_i \\ d_j \end{matrix} \quad \begin{matrix} \nearrow \\ \searrow \end{matrix} \quad \dots \quad h = -i \frac{m_d}{v} \delta_{ij}$$

3) interakcije s  $\gamma, Z^0, G^{1, \dots, 8}$ :  $\bar{d}'_i (-g A) d'_i \rightarrow$  isto kao kinetički članovi

4) Jedina zanimka su nabijene slabe interakcije s  $W^\pm$  koje mijenjaju okus:

$$\mathcal{L}_{cc} = \bar{u}'_{iL} \left( -\frac{g}{\sqrt{2}} W \right) d'_{iL} + h.c. + \dots$$

$$= \bar{u}'_{iL} S_{ij}^{(u)\dagger} \left( -\frac{g}{\sqrt{2}} W \right) S_{ik}^{(d)} d_{kL} + \dots = \bar{u}'_{iL} \left( -\frac{g}{\sqrt{2}} W \right) V d_{kL}$$

$V = S^{(u)\dagger} S^{(d)}$  CKM matrica (Cabibbo-Kobayashi-Maskawa)

poned se miješanje pridružuje sektoru konjnih kvarkova i govori se o svojstvenim stanjima mase  $d_i = d_{i1}, d_{i2}$  nasuprot svojstvenih stanja slabih interakcije  $d' = Vd$ .

Odgovarajuća matrica miješanja u leptonskom sektoru se zove PMNS (Pontecorvo - Maki - Nakagawa - Sakata)

$$\begin{matrix} \uparrow W^\mu \\ \rightarrow d \quad \rightarrow u \end{matrix} = -i \frac{g}{\sqrt{2}} \gamma^\mu \frac{1}{2} (1 - \gamma_5) V_{ud}$$

Određuju se iz eksperimenta.

Koliko nezavisnih elemenata ima  $V_{CKM}$  u teoriji s n fermionskih generacija?  $n \times n$  unitarna matrica ima  $n^2$  parametara:

$$\frac{n(n-1)}{2} \text{ kutova (realni parametri)} ; \frac{n(n+1)}{2} \text{ faza (imaginarni parametri)}$$

No, ako svakom dunsu mijenjamo fazu ( $u \rightarrow e^{-i\alpha_1} u, d \rightarrow e^{-i\alpha_2} d, \dots, t \rightarrow e^{-i\alpha_6} t$ ),  $6=2n$

$\mathcal{L}_{SM}$  se ne mijenja, izuter člana  $\mathcal{L}_{cc} = (u, c, t) \dots V \begin{pmatrix} d \\ s \\ b \end{pmatrix}$

gdje izborom  $\alpha_1, \dots, \alpha_{2n}$  možemo poništiti  $2n-1$  faza od  $V$ . (Jedna manje od  $2n$  jer izbor  $\alpha_1 = \alpha_2 = \dots = \alpha_{2n}$  ne utječe na  $V$ .)

Pa ostaje samo

$$\frac{n(n+1)}{2} - (2n-1) = \frac{(n-1)(n+2)}{2} \text{ nezavisnih faza} = \begin{cases} 0 & \text{za } n=1,2 \\ 1 & \text{za } n=3 \text{ (SM)} \end{cases}$$

Jedini opservabilni imaginarni dio standardnog modela!

Ekperimentalno imamo hijerarhijsku miješanje generacija  $(1 \leftrightarrow 2) \gg (2 \leftrightarrow 3) \gg (1 \leftrightarrow 3)$  te što nema prihvaćenog objašnjenja

$$V_{CKM} = \begin{pmatrix} 1 - \frac{\lambda^2}{2} & \lambda & A\lambda^3(s+i\eta) \\ -\lambda & 1 - \frac{\lambda^2}{2} & A\lambda^2 \\ A\lambda^3(1-s-i\eta) & -A\lambda^2 & 1 \end{pmatrix} + O(\lambda^4)$$

$\lambda = \cos \theta_c \approx 0.23$   
 $\uparrow$  Cabibbov kut

$$\left. \begin{matrix} A \approx 0.8 \\ s \approx 0.1 \\ \eta \approx 0.3 \end{matrix} \right\}$$

(\*)  $V_{CKM}$  nema ovakvu hijerarhijsku strukturu miješanja

# Nabojna konjugacija (C) i CP simetrija

Podsjetimo se: slaba međudjelovanja narušavaju simetriju  
 prostorne inverzije (pariteta)  $P: \vec{x} \rightarrow -\vec{x}$

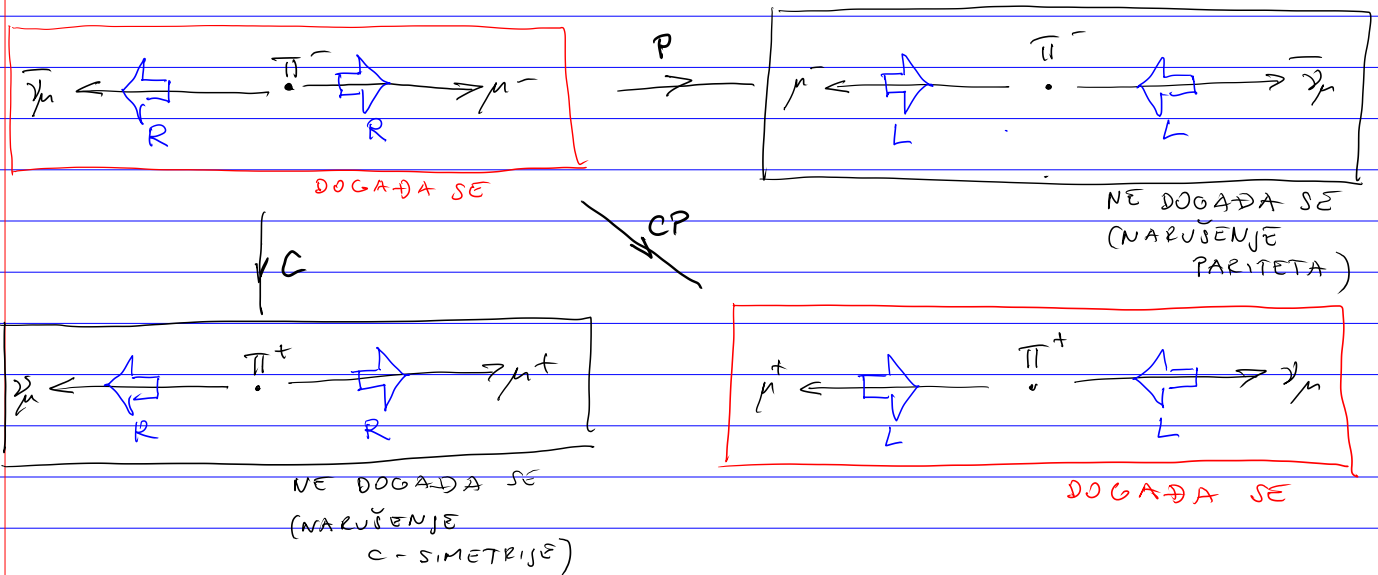
Srodna transformacija: nabojna konjugacija

$$C: |\vec{p}, \lambda, Q, \text{boja, drugi naboji}\rangle \rightarrow |\vec{p}, \lambda, -Q, \overline{\text{boja}}, \dots\rangle$$

↑  
helicitet

C: čestica  $\leftrightarrow$  antičestica

Ponašanje tipičnog slabog procesa pri P, C i CP transformacijama:  
 $\pi^- \rightarrow \mu^- \bar{\nu}_\mu$ ,  $J^P(\pi^-) = 0^-$



Ovidjevi ovdje gore, kad su nakon otkrića narušavanja pariteta predložilo da je „pravu“ simetriju koje povezuje lijevo i desno stanje CP.

$$\begin{aligned}
 P: \psi &\rightarrow \gamma^0 \psi & \bar{\psi}_1 \psi_2 &\rightarrow \bar{\psi}_1 \psi_2 \\
 A^\mu &\rightarrow A_\mu = (\phi_1 - \vec{A}) & \bar{\psi}_1 \gamma^\mu \psi_2 &\rightarrow \bar{\psi}_1 \gamma_\mu \psi_2 \\
 \phi &\rightarrow \phi
 \end{aligned}$$

Pa su vektorske (V) bačdarne interakcije  $\bar{\psi} \gamma^\mu \psi A_\mu$   
 QED-ije i QCD-ije i Yukawa interakcije  $\phi \bar{\psi} \psi$   
 P-invarijantne.

$$C: \begin{cases} \psi \rightarrow i\gamma^2 \psi^* \\ \phi \rightarrow \phi^\dagger \end{cases} \Rightarrow \bar{\psi}_1 \psi_2 \rightarrow \bar{\psi}_2 \psi_1$$

$$\Downarrow \\ \bar{\psi}_1 \gamma^\mu \psi_2 \rightarrow -\bar{\psi}_2 \gamma^\mu \psi_1 \quad (\text{tako je } Q = \int d^3x \bar{\psi} \gamma^0 \psi \rightarrow -Q \text{ kao što i treba})$$

Pa onda, da bi QED poštivalo C-simetriju, mora biti

$$C: A^\mu \rightarrow -A^\mu$$

tj. C-paritet fotona je negativan  $C|\gamma\rangle = -|\gamma\rangle$ .

C-paritet ima smisla definirati samo za sasvim neutralna stanja (neutralne čestice, sustave čestica-antičestica, ...)

Kako očuvamo raspad  $\pi^0 \rightarrow \gamma\gamma \Rightarrow C|\pi^0\rangle = +|\pi^0\rangle$

Ako su Yukawina vežanje kompleksna (a znamo da jesu):

$$\mathcal{L}_Y = -g \bar{Q}_L \phi d_R + h.c. = -g \bar{Q}_L \phi d_R - g^* \bar{d}_R \phi^\dagger Q_L$$

$$\xrightarrow{CP} -g \bar{d}_R \phi^\dagger Q_L - g^* \bar{Q}_L \phi d_R \neq \mathcal{L}_Y \text{ ako } g \neq g^*$$

Kompleksni  $g_{ij} \Leftrightarrow$  imaginarna faza u Vakuum ( $\exists$   $n \geq 3$  generacije fermiona)

$\Downarrow$

narušenje CP simetrije



Neutralni kaoni i otkrice nesačuvanja CP simetrije

$|K^0\rangle = |d\bar{s}\rangle$  i  $|\bar{K}^0\rangle = |\bar{d}s\rangle$  nisu svojstvena stanja od C ; CP (od P jesu;  $J^P = 0^-$ )

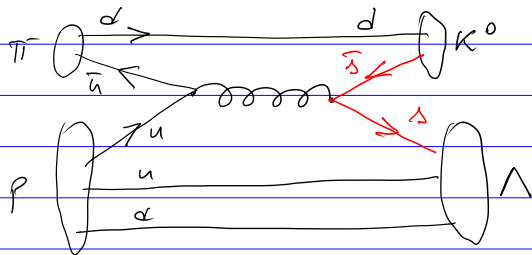
$C|K^0\rangle = -|\bar{K}^0\rangle$  (-) je proizvoljna neoprevedljiva  
 $C|\bar{K}^0\rangle = -|K^0\rangle$  faza po standardnoj konvenciji

Ako je CP očuvana trebamo  $K_{1,2}$  sa svojstvenim stanjima

CP:  $\frac{1}{\sqrt{2}}(|K^0\rangle + |\bar{K}^0\rangle) \stackrel{(-)(-)}{=} \frac{1}{\sqrt{2}}(|\bar{K}^0\rangle + |K^0\rangle) = +|K_1\rangle$

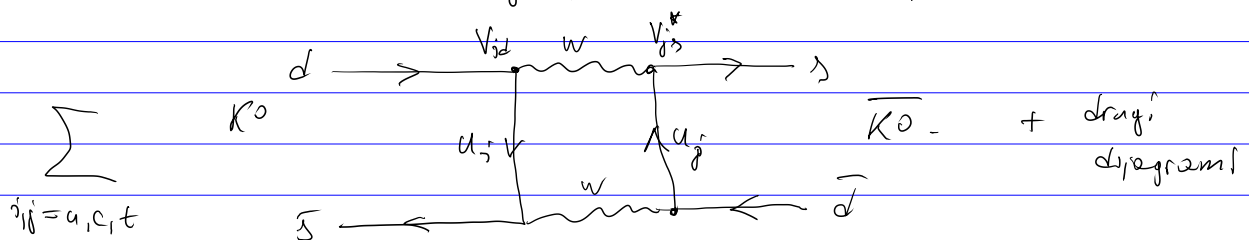
CP:  $|K_2\rangle \equiv \frac{1}{\sqrt{2}}(|K^0\rangle - |\bar{K}^0\rangle) \stackrel{(-)(-)}{=} \frac{1}{\sqrt{2}}(|\bar{K}^0\rangle - |K^0\rangle) = -|K_2\rangle$

Proizvode se  $K^0$  iz  $\bar{K}^0$ , a ne  $K_{1,2}$ . Npr.  $\pi^- p \rightarrow K^0 \Lambda$



← samo ilustracija transfera impulsa. (Proces je u stvarnosti neperturbativan.)

No slabe interakcije omogućuju  $K^0 - \bar{K}^0$  miješanje



pa je potrebno dijagonalizirati  $(H) \begin{pmatrix} K^0 \\ \bar{K}^0 \end{pmatrix}$

To je teško (H uključuje i neperturbativne QCD interakcije), ali ako je CP očuvan,  $[H, CP] = 0$  i rezultirajuća dva svojstvena stanja, nezavisna:  $K_S$  i  $K_L$ , bi trebala biti

$|K_S\rangle = |K_1\rangle$

$|K_L\rangle = |K_2\rangle$

(jer je moguće istovremeno dijagonalizirati H i CP)

Neutralni kaoni se raspadaju u dva i na tri piona  
(sjetimo se  $\bar{u}-d$  razonutke za  $K^+$ )

$$CP |2\pi\rangle = (-1)^2 |2\pi\rangle$$

$$CP |3\pi\rangle = (-1)^3 |3\pi\rangle$$

↑ samo  $\pi$ , za  $L=0$

(Ovo je lako videti za  $\pi^+\pi^0$  i  $\pi^0\pi^0\pi^0$ , ali vrijedi i za  
 $\pi^+\pi^-$ ,  $\pi^0\pi^+\pi^-$ ; vidi knjigu.)

pa uz očuvanje CP simetrije imamo

$$K_S \rightarrow 2\pi$$

$$K_L \rightarrow 3\pi$$

↓  
"short"

znatno manji fazi prostori pa  $K_L$  duže živi  
i onaj neutralnih kaona daleko od izvora  
se sastoji samo od  $K_L$  - "long"

Cronin & Fitch 1964. opažaju  $K_L \rightarrow 2\pi$ . (Otkrivenje nespošćenje CP simetrije)

Dvije vrste  $\mathcal{CP}$ :

$$|K_S\rangle = \frac{1}{\sqrt{1+|\epsilon|^2}} (|K_1\rangle + \epsilon |K_2\rangle)$$

$\mathcal{CP}$  zbog miješanja stanja s različitim  $\mathcal{CP}$  paritetom

$$|K_L\rangle = \frac{1}{\sqrt{1+|\epsilon|^2}} (|K_2\rangle + \epsilon |K_1\rangle)$$

$$\epsilon' \equiv \frac{\Gamma(K_2 \rightarrow \pi\pi)}{\Gamma(K_2 \rightarrow 3\pi)} \rightarrow \mathcal{CP} \text{ u raspadu ("direktno" } \mathcal{CP})$$

exp:  $\epsilon \sim 10^{-3}$ ,  $\text{Re}\left(\frac{\epsilon'}{\epsilon}\right) \sim 10^{-3}$   
 ↑ ↑  
 Cronin & Fitch puno kasnije

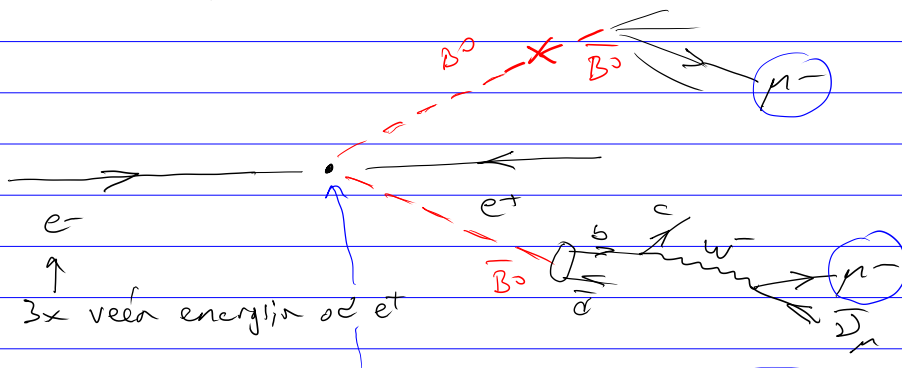
U SM  $\epsilon, \epsilon' \propto \eta$  (kompleksna faza u  $V_{cb}$ ) ali je

točan broj teško računati zbog neperturbativnosti QCD-je.

Neutralni B mezon  $|B^0\rangle = |d\bar{b}\rangle$ ,  $|\bar{B}^0\rangle = |\bar{d}b\rangle$   
 su zahvalniji za teoriju  
 $m(B^0) = 5.3 \text{ GeV}$  ( $m(K^0) = 0.5 \text{ GeV}$ )

i za eksperiment:

Belle (Japan) i BaBar (US): asimetrične tvornice B mezona



Pojava leptona istog naboja signalom protivku  $B^0 \rightarrow \bar{B}^0$

$(b\bar{b})$  čestice s  $\beta\gamma \sim 0.5$  u smjeru  $e$  snopa koje se promptno raspada na  $B^0 - \bar{B}^0$

Dobro se vidi koji produkt dolaze od kojeg B mezona.

Jedan detektor na LHC-u (LHCb) je posvećen proučavanju B mezona.

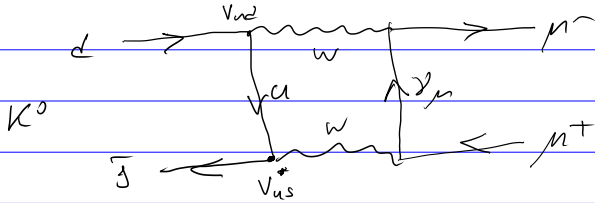
GIM mehanizam

U vrijeme prije otkrića c-kvarka, CKM miješanje je bilo samo Cabibbovo miješanje

$$\begin{pmatrix} d' \\ s' \end{pmatrix} = \begin{pmatrix} \cos\theta_c & \sin\theta_c \\ -\sin\theta_c & \cos\theta_c \end{pmatrix} \begin{pmatrix} d \\ s \end{pmatrix}$$

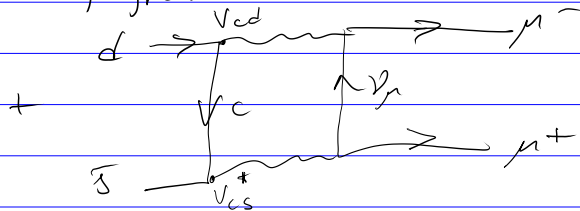
i slabe sile su veće preostali u kvark na d'

Na istom procesu  $K^0 \rightarrow \pi^+ \pi^-$



danas je  $\Gamma(K^0 \rightarrow \pi^+ \pi^-)$  puno veći od eksperimenta.

Glashow-Iliopoulos-Maiani:  $\exists$  c-kvark koji se veće na s' isto boje dijagram



Ukupna Feynmanova amplituda je

$$\mathcal{M} \propto \frac{V_{ud}^* V_{us}}{p - m_u} + \frac{V_{cd}^* V_{cs}}{p - m_c} \xrightarrow{m_u = m_c} (\cos\theta_c \sin\theta_c - \sin\theta_c \cos\theta_c) = 0$$

"GIM mehanizam"

$$\xrightarrow{m_u \neq m_c} \propto \frac{m_c^2 - m_u^2}{M_W^2} \rightarrow \text{predviđanje } m_c \sim 1.6 \text{ GeV}$$

za tri generacije:  $\mathcal{M} \propto \sum_{i=u,c,t} V_{id}^* V_{is} = (V^\dagger V)_{sd} = 0$  jer je V unitarna.

U SM nema ni mogućnosti **ne može!**

što je svojstvo poznato kao odsustvo FCNC ("flavour-changing neutral current"), što je važno ograničenje na proširenje SM.

## Neutrinske mase i oscilacije

Obzirom da neutrino i proizvodimo i detektiramo samo slabim međudjelovanjima ono što zovemo "neutrino" je analogan  $d', s', b'$  stanjima kvarkova

$$\begin{pmatrix} \nu_e \\ \nu_\mu \\ \nu_\tau \end{pmatrix} = \begin{pmatrix} V_{PMNS} \end{pmatrix} \begin{pmatrix} \nu_1 \\ \nu_2 \\ \nu_3 \end{pmatrix}$$

↑  
stanje koje interagira s  $W^\pm, Z^0$

↑  
svojstvene stanje mase

$\nu_{1,2,3}$  su bitne samo za propagaciju i miješanje,

ali u čistom SM  $m_1 = m_2 = m_3 = 0$  i  $V_{PMNS}$  je neopseambilna.

Mo, eksperimenti su opatili oscilacije neutrina

$$\nu_e \leftrightarrow \nu_{\mu, \tau}$$

$$\Rightarrow \Delta m_{21}^2 \equiv m_2^2 - m_1^2 \sim 10^{-5} \text{ eV}^2$$

$$|\Delta m_{32}^2| = |m_3^2 - m_2^2| \sim 10^{-3} \text{ eV}^2$$

$> 0$  normalna hijerarhija

$< 0$  invertirana hijerarhija

exp:  $m_{1,2,3} \lesssim 1 \text{ eV}$ , kutovi miješanja u  $V_{PMNS}$  su poznati  
 jer u leptonskom sektoru još nije opaženo

\* Mehaničkom klackalica (see-saw)

$$\mathcal{L}_{mass} = -m \bar{\psi}_L \psi_L - \frac{M}{2} \bar{\psi}_L^T (i\gamma^2 \gamma^0) \psi_R + h.c.$$

$m$  - Diracova masa  
 $M$  - Majoranina masa

Jedini još Lorentz inv. član, ali narušava sre  
 nekoje pa je moguć samo za potpuno  
 neutralne čestice.

Postoje i baždarni simetriji  $\Rightarrow$  za  $M$  ne treba Higgs!

$$m \sim v, M \sim 10^{10-15} \text{ GeV} \xrightarrow{\text{dijagonalizacija } \mathcal{L}_{mass}} m_\nu \sim \frac{v^2}{M} \text{ eV} \checkmark$$

$\hookrightarrow m_\nu \neq 0$  je možda prvi pogled u fiziku izvan SM!